

**283870**

T.C.

HACETTEPE ÜNİVERSİTESİ  
SAĞLIK BİLİMLERİ FAKÜLTESİ

**NORMAL VE MALIGN LENFOPROLIFERATİF HASTALIKLarda  
CON A VE ANS ARACILIĞI İLE HÜCRE YÜZYEY ÖZELLİKLERİNİN  
İNCELENMESİ**

**BİOKİMYA PROGRAMI  
BİLİM UZMANLIĞI TEZİ**

**ASLIHAN TURHAN**

**ANKARA - 1982**

T.C.

HACETTEPE ÜNİVERSİTESİ  
SAĞLIK BİLİMLERİ FAKÜLTESİ

NORMAL VE MALIGN LENFOPROLİFERATİF HASTALIKLarda  
CON A VE ANS ARACILIĞI İLE HÜCRE YÜZEY ÖZELLİKLERİNİN  
İNCELENMESİ

BİOKİMYA PROGRAMI  
BİLİM UZMANLIĞI TEZİ

ASLIHAN TURHAN

REHBER ÖĞRETİM ÜYESİ : Doç. Dr. KAYA EMERK

ANKARA - 1982

Bilim Uzmanlığı çalışmalarımın başından beri gösterdiği sabırlı ve titiz rehberliği için değerli hocam Doç. Dr. Kaya Emerk ile, beni tez çalışması yönünde büyük özen- diri ve katkıları ile yönlendiren ve çalışmam süresince gösterdiği hoşgörü nedeniyle araştırma asistanı olduğum laboratuarın sorumlusu Doç. Dr. Emin Kansu'ya teşekkürü borç bilirim.

## **İÇİNDEKİLER**

	<u>Sayfa</u>
I. GİRİŞ .....	1
I.1. Lenfositler .....	1
I.2. Bağışıklık Sisteminin İşleyışı .....	4
I.3. Lektinler Hakkında Genel Bilgi .....	6
I.4. Hücre Zarı .....	9
I.5. Transformasyon ile Gelişen Değişiklikler ..	14
I.6. Lenfoproliferatif Hastalıklar .....	19
I.6.1. Kronik Lenfositik Lösemi (KLL) .....	20
I.6.2. Hairy Cell Lösemi (HCL) .....	23
I.7. Amaç .....	26
II. ARAÇ, GEREÇ ve YÖNTEMLER .....	27
II.1. Araç ve Gereçler .....	27
II.2. Yöntemler .....	27
II.2.1. Lenfosit Ayrımı .....	27
II.2.2. Lenfosit Altgruplarının Sayısal Değerlen- dirilmesi .....	29
II.2.3. B-Lenfositlerinin Saflaştırılması .....	31
II.2.4. Protein Tayinleri .....	32
II.2.5. Radyoaktivite Sayımları .....	32
II.2.6. <sup>3</sup> H-Con A'nın Hazırlanması .....	33
II.2.7. Mikrohemaglutinasyon .....	33

II.2.8. Mikrofüj Tekniği ile Bağlanma Deneyi .....	34
II.2.9. Assosiasyon Sabiti (Ka) ve Rezeptör Sayısı (N)'nın Hesaplanması .....	35
II.2.10. Fluorometrik Tayinler .....	37
III. BULGULAR .....	40
III.1. Hasta Gruplarında T ve B-Lenfositlerinin Sayısal Değerlendirilmesi .....	40
III.2. $^3\text{H}$ -Concanavalin A ile Hücrelerde Con A Rezeptör Sayılarının ve Affinitelerinin İncelenmesi .....	43
III.3. Hücrelerde ANS Bağlanma Yerlerinin Sayı ve Affinitelerinin İncelenmesi .....	50
III.4. Hücrelerde ANS Bağlanma Yerleri ile Triptofan Molekülleri Arasındaki Uzaklığın (r) incelen- mesi .....	52
IV. TARTIŞMA .....	53
ÖZET .....	60
KAYNAKLAR .....	62

# I- G İ R İ S

## I.1. Lenfositler

Kanın şekilli elemanlarından lökositler kapsamında bulunan lenfositler vücut savunmasında rol alan hücrelerdir. Lenfositler morfolojik olarak genellikle oval, 8-12 mikron arasında çapları olan, yoğun bir nükleer kromatin ve ince bir sitoplazma içeren hücrelerdir. Sitoplazmada glikojen, mitokondrisel enzimler ve lizozomal hidrolazlar yer alır.

Kemik iliğindeki stem hücrelerinden kaynaklanan lenfositlerin bir kısmı timus yolu ile programlanarak gelişimlerini tamamlarlar ve periferal dokulara geçerler. Bu hücrelere T-lenfositleri adı verilir, vücutta hücresel bağılıktan sorumludurlar. Kemik iliğinden ayrılan diğer bir grup stem hücreleri ise periferal lenfoid dokulara geçer ve insanda, kuşlardaki Bursa Fabricius'a eşdeğer bir lenfoid dokuda (örneğin: kemik iliği) farklılaşma göstererek, B-lenfositlerine dönüşürler. B-lenfositleri, hümoral immüniteden sorumlu hücrelerdir. Lenfositler kapsamına giren üçüncü hücre grubu da "Null" lenfositler adını almaktadır (1).

Son zamanlarda yapılan çalışmalarında, Null lenfositlerin membranlarındaki paralel tübüler düzenlerin morfolojik belirleyici olarak kullanılabileceği ve diğer iki lenfosit grubundan ayırd etmede yararlanılacağı öne sürülmektedir (2).

Böylelikle, T, B ve Null lenfosit olmak üzere üç alt sınıfından oluşan lenfositlerin sayısal değerlendirilmesinde yüzey belirleyicileri esas alınır. T-lenfositleri için yüzey belirleyicileri:

1. Koyun eritrosit reseptörleri, ve
2. Yüzey antijenleri'dir.

Bunlardan başka T-lenfositleri zarsal ATPaz enzimi içerirler.

B-lenfositleri için yüzey belirleyicileri:

1. Yüzey immünoglobülinleri
2. Kompleman reseptörleri
3. Fc-reseptörleri, ve

4. Eritrosit reseptörleri'dir. (Sensitize edilmiş koyun eritrositleri ve fare, maymun eritrositleri).

B-lenfositleri, ayrıca, zarzal 5'nükleotidaz enzimi içerirler.

Null lenfositler ise yüzey özelliklerini açısından çok turellilik (heterogeneity) göstermektedir ve özellikleri halen tam bir açıklık kazanmamıştır (1).

T-lenfositleri: Timusta işlem gören ve bu işlem sırasında yüzey özelliklerini ve etkinliklerini değiştiren T-lenfositleri periferal lenfoid dokularda yer alırlar. Büyüklük oranda lenf bezlerinin parakortikal bölgesinde ve dalagın beyaz pulpasında periarteriolar kesiminde yerlesirler.

T-lenfositleri, fakültatif organizmalara, doku ve organ graftlarına ve çeşitli viral enfeksiyonlara karşı oluşan bağışik etkinliklerde (gecikmiş hipersensitivite gibi) önemli rol oynarlar (3). Radyoaktif belirleyiciler, kromozom ve yüzey抗原 belirleyicileri kullanarak, lenfositlerin, T-lenfosit alt grubunun oluşturmak üzere timustan periferal dokulara göç ettiği saptanmıştır. Timus lenfositlerinin çoğu bağışıklık açısından tam olgunlaşmamıştır ve antijene cevap oluşturamaz. Bu farklılık da timustaki lenfositlerden periferal dolasındaki T-lenfositlerine geçişte bir diğer farklılaşma adının olduğunu düşündürmektedir (4).

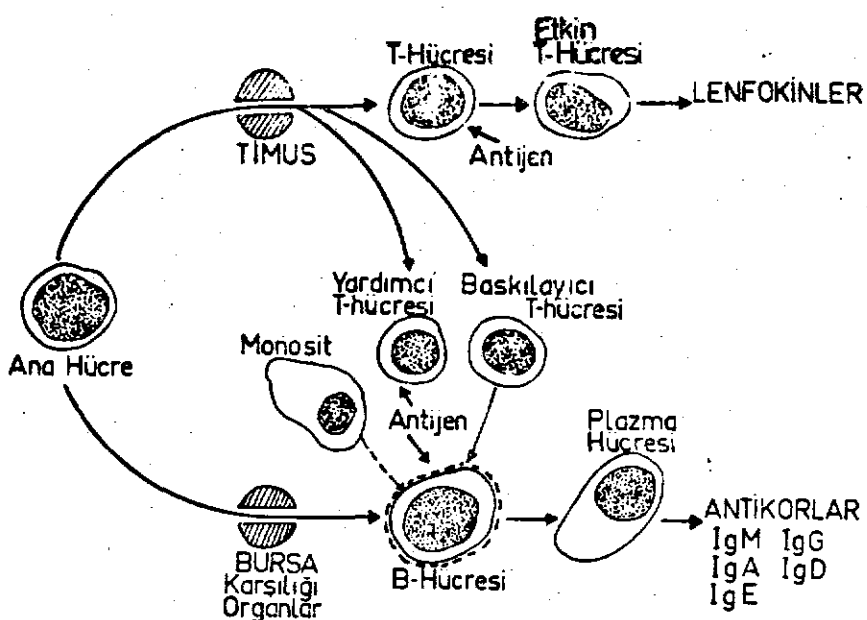
B-lenfositleri: Yüzey immünoglobülinine sahip olması ile diğer iki lenfosit alt grubundan kolaylıkla ayırdı edilen B-lenfositleri,抗原 uyarımı sırasında farklılaşmaya uğrar ve immunoglobülin salabilen plazma hücrelerine dönüşürler. Antigen ile uyarım sonucu B-lenfositinin plazma hücresine farklılaşmasını zarda bulunan ve bir çeşit immunoglobülin yapısında olan bir reseptör yönlendirir. Bu immunoglobülin, 180 000 dalton molekül ağırlığında bir IgM

monomeridir. B-lenfositinin zarında, daha sonra, dalakta-  
ki farklılaşma olayları sırasında IgD belirmektedir (5).

B-lenfositlerinin tüm yüzeyine dağılmış olan bu im-  
munoglobülin molekülleri, hücre 37°C'da tutulduğunda hüc-  
renin bir kutbuna toplanmakta ve kutuplaşma (capping) adı  
verilen olay gerçekleşmektedir. Kutuplaşmanın hücre yüze-  
yi reseptörlerinin yeniden dağılımına olanak veren konfor-  
masyon değişimlerinde etkili olması yanında lenfositin  
plazma hücre sine farklılaşması sürecindeki işlemlerin bir  
parçasını oluşturması da söz konusudur (3). Kutup oluşumu  
hücre zarının akışkanlığı (fluidity) ile ilgili bir olay-  
dır.

### I.2. Bağışıklık Sisteminin İşleyisi:

Bağışık yanıt, bir canlıının vücutuna antijen niteli-  
ği olan yabancı bir maddenin girmesi halinde organizmanın  
oluşturduğu özgül bir yanittır (1). İki tip bağışık yanıt  
saptanmıştır. Birinde antikor oluşturulurken (hümoral ba-  
ğışık yanıt) diğerinde (hücresel bağışık yanıt) antikor  
oluşumu gözlenmez. Hümoral bağışıklıktan sorumlu B-lenfo-  
sitlerinin antikor salan plazma hücrelerine dönüşümünde  
yardımcı ve baskılıyıcı T-lenfositleri etki gösterirler.



Şekil 1: Hücresel ve Hümoral Bağışıklık Sistemleri

Timusa bağımlı antijenlere cevap olarak T-lenfositleri yardımcı veya baskılıyıcı T-lenfositleri olarak gelişim gösterirler. Yardımcı T-lenfositleri ile zarında IgM taşıyan B-lenfositleri arasındaki işbirliği sonucu IgG oluşturan B-lenfositlerinin yapımı gerçekleşir. Bağışıklık sisteminde T ve B lenfositlerine ek olarak, makrofajlara da gerek duyulmaktadır. Antijenin makrofajla etkileşiminin yardımcı T-lenfositlerinin uyarımı için de gerekli olduğu düşünülmektedir. Monositler ile lenfositlerin etkileşiminin lenfosit proliferasyonunda önemli bir adım olduğu, lektinlerle yapılan etkinleştirme çalışmalarıyla da saptanmıştır (6). Hücresel ve hümoral bağışıklık sistemleri Şekil 1'de şematize edilmiştir.

### I.3. Lektinler Hakkında Genel Bilgi:

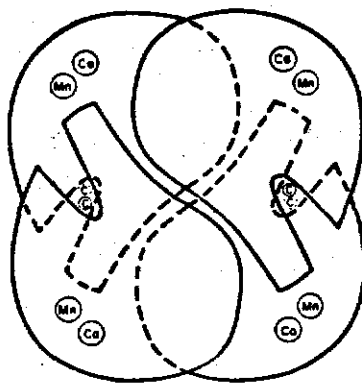
Lektinler yaklaşık 90 yıl önce, kırmızı küreleri kümelestirme özelliklerinin gözlenmesi nedeniyle "hemaglutinler" olarak adlandırılmış olan bir grup bitkisel proteinlerdir. Daha sonraki çalışmalar ise, lektinlerin sadece kırmızı küreleri değil, lenfositleri, fibroblastları, spermatozoa'yı, bakteri ve mantarları da kümelestirme özelliğine sahip olduklarını göstermiştir (7).

Lektinler kimyasal yapıları açısından büyük farklılıklar gösteren moleküllerdir. Amino asit bileşimi, molekül ağırlığı ve moleküler özellikleri açısından biribirinden çok değişik olan bu bileşiklerin ortak yönleri protein olmaları ve biolojik etkinlik göstermeleridir (8). Lektinler ayrıca glikoproteinlerin affine kromatografisi ile saflaştırılmasında, kan hücresi ayrimında, kan grubu tayininde kullanılmaktadır (9). Bazı bitkisel lektinlerin kanser hücrelerini aglütine ettikleri ancak onların neoplastik olmayan ana hücrelerine aynı etkiyi göstermedikleri saptanmıştır (10). Bu lektinler plazma zarındaki farklılaşmaların çalışılmasında sıkılıkla kullanılmaktadır (10,11,12). Farklı hücrelerin lektinler ile aglutinasyonunun lektine özgü şekerlerce inhibe edilebildiğinin gösterilmesi, lektinlerin hücre yüzeyinde özgü şekerlere bağlılığı sonucunu çıkarmıştır (8).

Hücrenin mitojenik lektinler ile transformasyonu çarpıcı değişikliklere yol açmaktadır. Bu değişimler arasında önemle protein, RNA ve DNA sentezinde artmayı sayabiliyoruz. Ayrıca yağ asiti sentezi, karbohidrat metabolizması ve küçük moleküllerin almısında da artma olduğu bildirilmektedir. Özgül inhibitörler ile lektinin yüzeyden uzaklaştırılması çalışmalarından, tüm bu olayların lektinin hücre yüzeyine bağlanması ile kısa bir sürede gerçekleştiği saptanmıştır (8). Bramwell ve Harris'in yaptığı çalışmada malign hücrelerin zarındaki lektin reseptörlerinin, olağan dışı olarak dimerik formda olduğu normal hücrenin glikoprotein yapıdaki reseptörünün ise monomerik yapıda olduğu öne sürülmüştür (10).

**Concanavalin A:** Concanavalin A (Con A) molekül ağırlığı 27 000 olan iki özdeş alt birimden oluşan bir proteinidir. pH 7'de tetramer, pH 4.5'da ise dimer haldedir ve iki sakkarit bağlama bölgesi vardır (7, 13). Saflaştırılan diğer pek çok lektinin aksine kovalent bağlı karbohidrat içermez ve dolayısıyla bir glikoprotein değildir. Con A  $\alpha$ -D-mannopiranuzu,  $\alpha$ -D-glukopiranuzu, D-fruktofuranoz ve glikozidlerini ve sterik olarak benzer yapıları bağlar ve bu sakkaritleri içeren diğer maddeler ile bileşke oluşturur. Con A şekerlere ek olarak  $Ca^{+2}$  ve  $Mn^{+2}$  bağlar. Yapıda  $Ca^{+2}$  bağlama bölgesi  $Mn^{+2}$  bağlama bölgesinde 5.3 Å<sup>o</sup> uzak-

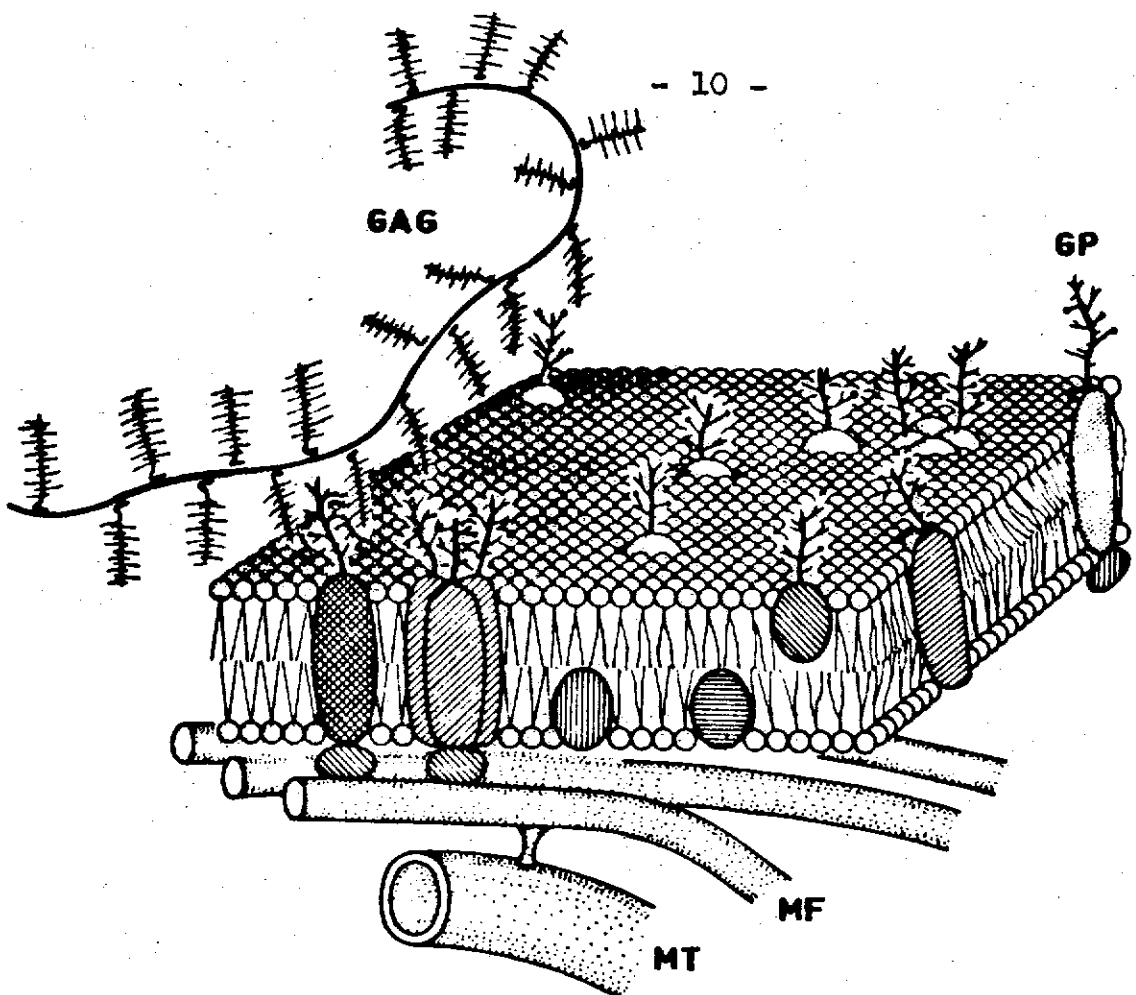
liktadır. Kristal haldeki Con A tek polypeptid zincirinden oluşan alt birimler içerir ve bu alt birimler pH'ya bağlı assosiasyon göstermektedir. Alt birimler  $42 \times 40 \times 29 \text{ \AA}^3$  boyutlarında globular proteinlerdir ve 238 amino asitten oluşurlar. Dört alt birim bir psöüdotetrahedral oluşturmak üzere bir araya gelir. Hakim yapısal özellik  $\beta$ -yapısında düzenlenen polypeptid zinciridir.  $\beta$ -yapısına girmeyen bölgeler serbest kıvrımlanma gösterir. Her bir alt birime bir sakkarit bağlanmaktadır (8). Con A'nın  $\text{Ca}^{+2}$ ,  $\text{Mn}^{+2}$ , geçiş metal ionları ve sakkarit bağlama bölgelerinin doldurulmasında bir etkileşim olduğu göze çarpmıştır. Ca ionu ancak geçiş metal ionu bölgesinde kaplandıktan sonra bağlanabilmekte ve sakkaritin bağlanabilmesi için her iki bölgenin doldurulması olması gerekmektedir. Con A'nın indirgenmeyen ucunda  $\alpha$ -D-glukopiranozil,  $\alpha$ -D-mannopiranozil,  $\beta$ -D-fruktofuranozil veya  $\alpha$ -D-arabinofuranozil birimleri içeren bir çok polypeptidi çöktürme özgüllüğü olduğu saptanmıştır. Con A'dan bivalent metal ionlarının uzaklaştırılması hücreyi aglütine etme yeteneğini yok etmektedir (7,14). Şekil 2'de Con A'nın tetramerik yapısı ve geçiş metal elementleri, Ca ve sakkaritlerin bağlanma bölgeleri gösterilmiştir.



Sekil 2: Concanavalin A'nın tetrametrik yapısı. Mn: geçiş metal elementleri Ca: Kalsiyum C:Sakkarit Bağlanma Bölgelerini İfade Etmektedir.

#### I.4. Hücre Zarı:

Genelde hücre zarı, özelde ise lenfosit zarı için sıvı mozaik model geçerliliğini korumaktadır. Bu modele göre, lipid ve protein karışımından oluşan zarda lipid birimlerinin hidrofobik kısımları biribirine bakacak şekilde çift tabaka oluyor. Yapının integral ve globular proteinler ise bazı bölgelerde glikoproteinleri oluşturacak şekilde lipid tabakaya gömülü olarak yer almaktadır (15). Sekil 3'de hücre zarı örneklenmiştir.



Şekil 3: Hücre zarının temsili şekli. GP: Glikoproteinler, GAG:Glukozaminoglikanlar, MT:mikrotübül, MF:mikrofilaman.

Zar kütlesinin yarıya yakınının oluşturan lipidler 3 temel sınıfı kapsamaktadır. Bu 3 temel sınıf fosfolipidler, nötral lipidler (özellikle kolesterol) ve glikolipidlerdir. Hepsi amfipatik olan bu moleküller, hidrofobik (polar) ve hidrofilik (polar olmayan) uçlar içermektedir. Bir çift tabakanın belirli bir sıcaklıktaki akışkanlığını bileşimi saptar. Bu sıcaklık da, fosfolipid grubunun doğası ve uzunluğu ile hidrokorbon yan zincirlerinin doymuşluk derecesine bağlıdır (16).

Zar kütlesinin yarıdan fazmasını oluşturan proteinler ise, periferik ve integral proteinler olarak iki grupta toplanabilir (16). Zarın iç yüzeyine yakın yer alan proteinler

hücre içi olaylarda görev alır, hücre yüzeyi ise savunma ile ilgili proteinleri kapsamaktadır. Zarı boydan boyaya geçen proteinlerin ise belirli bir yerlesimi vardır. Bu proteinlerin bir kısmı hücre yüzeyinden dışa doğru uzanır ve genellikle şeker birimleri içerir. Başlıca apolar amino asitlerden oluşan küçük bir kısmı ise lipid çift tabakaya boydan boyaya aşarken, polar kısımlar hücre içine bakmaktadır (17).

Plazma zarının % 10'unu geçmeyen bir bileşkesi de karbohidratlardır. Zarda karbohidratlar başlıca proteinlere bağlı olarak bulunurlar. Doğada bulunan yüzü aşınan monosakkaritten yaklaşık on tanesine zar glikoprotein ve glikolipidlerinde sıkılıkla rastlanmaktadır. Bu temel şekerler, galaktoz, mannoz, fukoz, glaktozamin, glukozamin, glukoz ve sialik asittir. Sialik asit, hücrenin net negatif yükünden sorumlu temel bileşkedir (16).

Zarda yer alan proteinlerin hem yatay hem de zarahı bir eksen etrafında hareket yeteneği vardır. Lenfosit zarında çift değerlikli antikorun reseptörüne bağlanması ile antijen-antikor kompleksinin yeniden düzenlenmeye (redistribution) uğraması buna bir örnektir (16). Bu yeniden düzenlenme sonucu, kutup oluşumu gibi yatay harekte bağlı olaylar ve endositoz gibi dikey harekete bağlı olaylar gerçekleşir (18).

Fare dalak lenfositleri ile yapılan bir çalışmada, lenfositlere dış kaynaklı kolesterolün eklenmesi ile mitojenik uyarının 2 katına arttırılabilceği saptanmıştır (19). Bu bilgi ışığında Pozzan ve arkadaşları, B-lenfositlerinde optimal Con A derişimi ile oluşan kutuplaşmanın hızını kolesterolün azaltabileceğini önermişlerdir. Büyüklük olasılıkla çift tabakanın akişkanlığını etkileyerek gelişen kutuplaşma hızındaki bu azalmanın, mitojenik uyardıma olanak sağlayacak düzeye inebileceğini öne sürmüştür (20).

İşaretli lektinler ile yapılan çalışmalarдан, lenfosit transformasyonunda hücre yüzeyindeki ilk bağlanmayı izleyerek endositozun gerçekleştiği saptanmıştır (18).

Mitojenlerin lenfositlere etkisi de zarda yer alan karbohidrat bileşkeler aracılığı ile olmaktadır. Con A'nın zarda karbohidrat bileşkeler ile etkileşime girdiği bağlanmanın  $\alpha$ -metilmannopiranozid ( $\alpha$ -MM) ile inhibe edilebilmesiyle kesinlik kazanmıştır (21,22,23). Lektinler ile etkileşimde görev alan karbohidratlar zarda glikoproteinler halinde bulunmakta ve tüm mitojenler için ortak reseptörler olarak kabul edilmektedir. Bugüne kadar hücre yüzeyi karbohidratının hangi biolojik etkinlik nedeniyle özgül bir zar glikoproteini ile bağıntılı olduğu saptanamamıştır. Bu belirsizliğin nedeninin glikolipid ve gliko-

proteinlerin karbohidrat belirleyicilerinin terminal oligosakkarit dizilerindeki yakın benzerlik olduğu düşünülmektedir (24).

Normal lenfositlerin Con A ile kutuplaşmasının zar mikrotübül yapısı ile yakından ilgili olduğu düşünülmektedir. Yapılan çalışmada, normal T ve B-lenfositlerinin çok az bir kısmı kendiliğinden Con A ile kutup oluşturmaktaadır. Yine aynı çalışmada lenfositlerin 10 dakika Con A ile inkübasyonunun mikrotübül yapısında önemli bir farklılık yaratmadığı saptanmıştır. Con A ile kutup oluşumunun zardaki mikrotübül yoğunluğu ile ters orantılı olduğu ve mikrotübülerin dağılması (disassembly) ile kutuplaşmanın bağıntılı olduğu öne sürülmektedir. Normal lenfositlerin çoğunda zara bağlı Con A zar boyunca düzgün aralıklarla dağılmıştır. Yapı önemli miktarda sitoplazmik mikrotübüler gösterirken ortama GSH-oksitleyici bir ajan olan diamide katılması mikrotübülerin düzenini bozmakta (disassembly) ve kutuplaşmaya yol açmaktadır. Mikrotübül düzeninin bozulması ile artan "Con A ile kutuplaşma" arasında bir bağıntı olduğu düşünülmektedir (23).

Con A ile kutuplaşma ile mitojenik uyarım arasındaki bağıntının araştırıldığı bir çalışmada en fazla mitojenik uyarının gerçekleşebilmesi için kutup oluşumunun bağlanmadan bir süre sonra meydana gelmesi gereği saptanmıştır(20).

### I.5. Transformasyon ile Gelişen Değişiklikler:

Transforme hücre sabit kalıtımsal bir değişikliğe uğrayarak alici canlıda tümör oluşturma özelliği kazanmış hücredir. Fibroblastlar ile yapılan çalışmalardan, hücrenin transforme olması ile morfolojik bir değişimde uğradığı gözlenmiştir. Bu şekilsel değişim hücre zarındaki değişim ile elele gitmektedir (25). Bu tür değişimlere ek olarak hücrelerin kültürde onkogenik ajanlar ile transformasyonu büyümeye denetiminin kaybolmasına, yüzey lektin receptorlarının artan hareketliliğine ve hücre içi yapışal düzenlenişte (cytoskeletal organization) değişim yol açar. Fluorescamine aracılığı ile yapılan bir çalışmada değişim hücre transformasyonunun erken safhasında olduğu ve bu değişimin normal ve transforme hücrelerin büyümeye hızları arasındaki farklılığa bağlı olmadığı saptanmıştır (26). Malign transformasyon ile bazı temel değişimlerin meydana geldiği yerin hücre zarı olduğuna dair deliller çoğalmaktadır. Bir karsinojenin DNA'da çok küçük bir bölgede değişiklik yaparak, farklılaşmış zar proteinlerinin sentezine neden olabileceği düşünülmektedir. Bu proteinlerin sonuç olarak, azalan yapışma (adhesivness) denetimsiz çoğalma veya besinlerin fazla alımı gibi bir dizi hücresel farklılaşmaya yol açabileceği düşünülmektedir. Dolayısıyla, çevredekteki bir değişimin hücre yüzeyi aracılığıyla malign transformasyonu uyarabileceği düşünülmektedir (27).

İnsan periferik kan lenfositlerinin morfolojisi ve mikrofilament organizasyonuna ilişkin bir çalışmada, lenfositlerin başlıca iki tipte değişime uğrayabileceği savunulmaktadır. Lenfositlerin sodyum azidle muamele ve eritrosit ile rozet oluşumu sırasında olduğu gibi, mitojen ile karşılaşlığında da mikrovilliler oluşturduğu saptanmıştır. Con A ve PHA ile yapılan çalışmada, lenfositler kabin yüzeyi ile temasa geçer geçmez, yassılaşma, uzama, cidarın düzgünliğünün bozulması ve mikro uzantıların olduğu gözlenmiştir. Aynı çalışmada, Concanavalin A (Con A) ve Phytohemaglutinin (PHA)'nin insan lenfositlerinde şekilsel değişime yol açtığı ve yüzeydeki aktinin yeniden düzenlenmesine neden olduğu saptanmıştır (28). Dolayısıyla, çekirdekte gerçekleşen bir modifikasyon hücre zarı aracılığı ile malign transformasyona neden olabilir. Transformasyon sonucu hücre yüzeyinin önemli bileşkelerinden olan glikolipid, glikoprotein ve karbohidratlarda çeşitli değişiklikler olduğu gözlenmiştir. Glikolipidler, üzerinde en fazla çalışma yapılmış olan bileşke-lerdir. Genel olarak:

- a) Kompleks glikolipidlerin miktarında genel bir azalma veya uç sakkarit birimlerinde kopma
- b) Hüresel dokumalara glikolipid sentezindeki yetersizlik nedeniyle gerekli cevabın oluşturulamaması ve bunun sonucu olarak ek uç sakkarit dizilerinin eklenmesi.

c) Glikolipidlerin enzim, antikor ve lektinleri bağlama özelliğinde artış, transformasyon sonucu gözlenen glikolipid farklılaşmalarıdır (30).

Malign trasformasyonda glikopeptidlerin uğradığı değişimleri irdelemek amacıyla ise Leonard Warren ve arkadaşlarının yaptıkları çalışmalarında hücre zarının tripsin ile muamelesi sonucunda glikopeptidlerin zardan ayrıldığı ve hücrelerin yapışma özelliğini yitirdiği gözlenmiştir. Bu triptik glikopeptidlerin pronase ile muamelesi sonucunda da karbohidrat bileşkenin glukozaminglikan yapıda olduğu saptanmıştır. Yine aynı grubun normal ve malign transforme bebek hamster böbreği ile yaptıkları deneylerde, hücre yüzeyindeki glikopeptidler kolondan geçirilmiştir. İlk gelen bileşke glukozaminglikanlar, daha sonra ise sialik asit içeren glikopeptidlerdir. Malign transformasyonda glikopeptid değişimlerine ilişkin bu çalışmada, sialik asit içeren glikopeptidlerin malign hücrelerde arttığı gözlenmiştir. Bu artış hücre kökeninden ve transforme edici ajandan bağımsız olarak malign transformasyonda genel olarak görülmektedir. Bu bileşkelere normal hücre zarında çok az, malign transforme hücrelerde ise oldukça yüksek miktarda rastlanmaktadır. Kromatografik çalışmalarla, bu glikopeptidlerin L-fukoz, D-manno, D-galaktoz, D-glukozamin ve sialik asit içerdikleri, ayrıca değişik amino asitler içeren peptid kısımlarının olduğu

gözlenmiştir. Oligosakkarit yan zincirler ile polypeptid zincir arasında ise  $\beta$ -glukozamin bağı vardır (29).

Hücre zarında transformasyon ile gelişen değişiklikler en fazla lektinler aracılığı ile çalışılmaktadır (19, 20, 21). Bazı lektinlerin transforme hücreleri daha fazla aglütine ettiğleri gözlenmiştir. Bu gözlem de transforme hücre ile normal hücrenin zarsal özellikleri arası farklılık olduğuna işaret etmektedir (7). Transforme ve normal hücrelerin, lektin reseptörlerinin dağılımı ve görelî hareketliliğini kıyaslamak amacıyla fluoresan ve elektron mikroskopi çalışmaları yapılmıştır. Bu çalışmalarla, lektin bağlama bölgelerinin transforme hücrelerde devamlılık göstermediği (discontinious) gözlenmiştir. Zarda lektin reseptör kompleksinin diffüzyonu sonucu lektin bağlama bölgelerinin kümeleştiği ve polivalent lektin moleküllerinin birden fazla lektin bağlama bölgesini çapraz bağladığı sanılmaktadır. Hücreler, önceden formaldehit veya glutaraldehit ile fiks edildiğinde hücre yüzeyi lektin reseptörlerinin kümeleştiği görülmüştür (30).

Burger ve arkadaşlarınınca ise, neoplastik transformasyon sonucu lektin reseptörlerinde artma gözleniği ancak, gerçekte, normal hücrelerin de aynı sayıda reseptöre sahip olduğu öne sürülmektedir. Lektin reseptörlerinin transforme hücrelerde fazla gibi görünmesinin nedeni, normal hüc-

relerde reseptörlerin kapalı bölgelerde (cryptic sites) bulunmasıdır. Bu düşünce normal hücrelerin proteolitik enzimler ile muamelesi sonucu transforme hücreler ile aynı sayıda lektin reseptörü göstermesine dayanmaktadır (31).

Normal ve transforme hücrelerin zarları arasında görülen diğer bir farklılık ise yüksek molekül ağırlıklı bir glikoprotein olan LETS (Large External Transformation Sensitive) proteinin malign transformasyon ile zardan kaybıdır (30,32,33).

Lenfositlerin mitojenik lektinler ile uyarımıyla gelişen diğer bir olay fosforilasyondur. Fare lenfositlerinin Con A ile uyarılmasının protein fosforilasyonuna etkisinin araştırıldığı bir çalışmada, canlı hücrenin Con A ile uyarım sonucu 135 000 ve 150 000 molekül ağırlığında iki proteinin fosforilasyonunda artma olduğu saptanmıştır. Ancak, fosforilasyonun ortama Con A eklenmesinden hayli zaman sonra gerçekleşmesi söz konusu proteinlerin uyarım sinyalinin alımı ile ilgili olmadığını düşündürmektedir. 135 000 molekül ağırlığındaki bu proteine diğer proliferasyon gösteren sistemlerde de rastlanması fosforilasyonun hücre proliferasyonun önemli bir parçası olduğunu düşündürmektedir (34).

### I.6. Lenfoproliferatif Hastalıklar:

Lenfoproliferatif hastalıklar genellikle lenfoid ve retikuloendotelial dokudan köken alan, çoğu malign gidişli, bir bölümü benign olmakla beraber malign transformasyon gösterebilen değişik hastalıklar grubunu kapsar. Lenfoproliferatif hastalıkların önemli bir bölümü, başta lenfositler olmak üzere retikulum hücreleri ve monosit-makrofaj'lardan köken alır.

Lenfoproliferatif hastalıklar kavramı içine Kronik Lenfositik Lösemi, Akut Lenfoblastik Lösemi, Hairy Cell Lösemi ve plazma hücresi tümörleri (Multiple Myelom, Waldenström makroglobulinemisi gibi) olarak nitelenen bir grup hastalık girmektedir.

Söz konusu hastalıkların çoğu lenfosit kökenli olduğundan klinik yönden çoğu kez lenfoid sisteme de değişiklikler ile kendini gösterir. Multiple myelom ve Hairy Cell dışında kalan malign lenfoproliferatif hastalıklarda lenfodenopati, karaciğer ve dalak büyümesi görülür. Lenfoproliferatif hastalıkların diğer bir ortak yönü immmün sisteme bozukluklardır. Lenfoproliferatif hastalıklar kapsamına giren kronik lenfositik lösemide (KLL) hümoral immün bozukluk ön planda görülmektedir (35).

#### I.6.1. Kronik Lenfositik Lösemi (KLL):

Çoğu kez B-lenfositlerin malign proliferasyonu sonucu oluştugu düşünülen kronik lenfositik lösemide hücre zarında çok yönlü değişimler gerçekleşmektedir. Çalışmalar her hastanın KLL hücrelerinin aynı immunoglobulin idiotipik determinantı taşıdığını göstermiştir. Bu homojenite KLL lenfositlerinde zar değişimini incelemek için eşsiz bir kaynak oluşturmaktadır (36).

İnsanlar ve hayvanlar ile yapılan çalışmalar dolaşımındaki lenfositlerin çögünün (proliferasyon) farklılaşma göstermediğini ve uzun süre yaşadığını göstermiştir. Dolasında çok az sayıda kısa yaşamı olan lenfositler varsa da, büyük çögünü aylarca veya yıllarca kan, lenf nodu, peyer plakları ve dalak aracılığı ile torasik kanala geçerek dolasımını sürdürmektedir. Kronik lenfositik lösemide de hakim hücre grubu uzun yaşamlıdır ve farklılaşma (proliferasyon) potansiyeli azdır. KLL'de dolasındaki bu uzun yaşamlı lenfositlerin lenfoid organlarda birikerek zamanla organ büyümeye neden olduğu öne sürülmüştür. Radyoaktif işaretli timidin ile yapılan bir deneyde, KLL'de de uzun yaşamlı lenfosit grubunun hakim olduğu ama daha hızlı proliferasyon gösteren lenfositlerinde bulunduğu saptanmıştır. Organ büyümeye olan hasta grubunda, lenfosit popülasyonunu büyük oranda, uzun yaşamlı lenfositlerin oluşturduğu saptanmıştır (37).

KLL'de yüzey immünoglobülinine sahip lenfositler çoğunluğu oluşturmaktadır (36). Immunofloresan çalışmaları KLL'de hakim lenfosit grubunun IgM ve IgD taşıdığını belirlemiştir (38). Normal lenfositlerin yaklaşık % 15'ının IgG, % 6'sının IgA ve % 8'nin IgM tipi yüzey immünoglobülin içeriği, buna karşın KLL lenfositlerinin monoklonal tipte immünoglobülin içerdikleri saptanmıştır (30). Ayrıca, normal lenfositler anti-immünoglobülin ile inkübasyon sonucu kolaylıkla kutup oluşumu gösterirken, KLL lenfositleri aynı şekilde kutuplaşmamaktadır (35).

Yapılan çalışmalar KLL lenfositlerinin normale göre, bazı antijenik belirleyicilerin ifade edilmesinde, lipid içeriğinde, zar mikrovizkozitesinde değişme olduğunu ve sialik asit miktarında azalma olduğunu göstermiştir (36). Zardakiコレsterol fosfolipid oranının KLL lenfositlerinde normale göre azlığı saptanmıştır. Ayrıca, yağ asidi içerikleride farklılık göstermektedir. KLL lenfositlerinde doymamış yağ asitlerinin hakimiyeti göze çarparken, normal lenfositlerde doymuş yağ asitleri çoğalmıştır. KLL'de doymamış yağ asitlerinin çoğalması ile zar kolesterolindeki yetmezliğin bu zarların fizyolojik sıcaklıklarda normale göre daha akışkan olmasına yol açtığını düşündürmektedir. Zar lipidlerinde akışkanlığı iki faktör etkilemektedir. Bu faktörlerコレsterol: fosfolipid molar oranı ve fosfolipid yağ asidi zincirlerinin uzunluk ve doymamışlık

derecesidir (39). Yapılan çalışmalar lösemik hücrelerde zar lipidlerinin akışkanlığında belirgin bir artışa karşın Con A reseptör mobilitesinde azalma olduğunu göstermiştir (39, 40). Aynı yönde Mintz ve Sachs'ın çalışmalarda, normal lenfositlerin Con A ile uyarılmış kutup oluşturma yeteneği % 25-34 iken, KLL lenfositlerinde % 5-9'a düşüğü saptanmıştır (41).

Zara ilişkin diğer bir çalışmada ise KLL lenfositlerinin zarlarında, normal lenfositlerde ve diğer neoplastik olmayan transformasyon göstermiş hücrelerde rastlanmayan, leukemia associated antijenler taşıdığı saptanmıştır. Bu antijene karşı oluştururan antiserum aracılığı ile söz konusu antijenlerin KLL'ye özgü olduğu gösterilmiştir (42).

Yakın zamanda monoklonal antikorlar ile yapılan bir çalışma ile de B-KLL'de sitoplazmik immunoglobülini olup, yüzey immunoglobülini gözlenmeyen ve yüzey immunoglobülini bulunan lenfositler monoklonal antikor ile karşılaştırılmıştır. Her iki grubunda aynı monoklonal antikor ile boyanması nedeniyle, yüzey immunoglobülini görülmeyen grubun其实, çok hafif boyanma gösterdiği düşünülmüştür. Aynı çalışmada, tüm B-hücresi orjinli kronik lösemilerin aynı antijenik fenotipte olduğu gösterilmiştir (43).

### I.6.2. Hairy Cell Lösemi (HCL)

"Hairy Cell" lösemi (HCL), klinik ve histopatolojik yönden özellikleri olan bir lenfoproliferatif hastalıktır. Literatürde histioleukemia, reticulum cell leukemia, leukemic reticuloendotheliosis gibi başka isimlerle de anılmıştır (35).

"Hairy Cell" lösemi kan, kemik iliği, dalak ve diğer dokularda anormal mononükleer saçaklı uzantılı hücrelerin bulunduğu yavaş ilerleyen proliferatif bir bozukluktur. Bu hücreler genellikle tartarata dirençli asit fosfataz izoenzimi ve mikrovilluslar içerirler (44).

Hastlığın en önemli özelliğini simgeleyen çok ince sitoplazmik uzantıları olan ve bu nedenle "hairy cell" adı verilen mononükleer hücrelerin kökeni henüz belirlenmemıştır. Bu hücrelerin çeperinde IgM ve/veya IgD'nin gösterilmiş olması, çoğu araştırcıya bu hücrelerin B-lenfosit kökenli olduğunu düşündürmüştür. Ancak, hairy hücreler latex partiküllerini fagosite etmek gibi monosit özellikleri de göstermektedir. Bu hücrelerin T-lenfositi kökenli olduğunu öne sürenler de olmuştur. Ancak, bazı araştırcılar çoğu hairy hücrelerin B-lenfositi, monosit veya iki tip hücre özelliğini de gösteren "hibrid hücre" kökenli olduğunu iletişirmektedir (35, 44).

"Hairy Cell" lösemi seyrek görülen ve bütün lösemilerin yalnızca % 2-5'ini oluşturan bir hastalıktır. En sık rastlanan fizik bulgu splenomegali olup karaciğer vakaların yaklaşık yarısında büyümekte, lenf bezlerinde büyümeye ise belirgin olmamaktadır.

"Hairy Cell" lösemi sıkılıkla, kronik lenfositik lösemi, malign lenfoma ve Waldenström makroglobülinemisi gibi diğer lenfoproliferatif hastalıklarla karıştırılabilir. KLL ve malign lenfomalardan ayırcı tanının yapılmasında HCL'de lenfodenopatinin belirgin olmaması, hücrelerin çok az mitotik aktivite göstergelerinin yanısıra kemik iliği ve lenf bezlerinin histopatolojik özellikleri ile hücre morfolojileri geniş çapta yardımcı olmaktadır (35).

Hairy Cell hücrelerinin belirgin bir özelliği Con A reseptörü ve yüzey immunoglobülinlerinde kutuplaşma özelliği göstermesidir. Hairy Cell'e karşın KLL veya lenfoma hücrelerinde kutaplaşmaya nadiren rastlanır. Lenfosit veya monositlerin hücre zarında kutuplaşma veya yeniden düzenlenme mikrofilaman ve mikrotübüllerce yönlendirilmektedir. Mikrofilamanlar aktin içeren kasılabilen bileşke-lerdir. Mikrotübüller ise, globular protein alt birimleri içeren silindirik yapılardır ve tüm ökaryot hücrelerde bulunduğu sanılmaktadır. Mikrotübüllerin ligand-reseptör kompleksinin kutuplaşmasını sınırladığı düşünülmektedir(44).

Filamentlerin fiziksel düzenini, hücre hareketini ve kutuplaşmayı önleyen sitokalasin B'nin aynı etkiyi "hairy cell" hücrelerinde de göstermesi bu plazma zarı receptorsörlerinin integral makromoleküller olduğunu ve hareket ve yeniden dağılımının mikrofilaman ve mikrotübüllerce düzenlenliğini göstermiştir (44).

I.7. Amaç:

Bu çalışmada, normal insan B-lenfositleri ile kronik lenfositik lösemili hastalarda B-lenfositlerinin yüzey özelliklerini açısından karşılaştırılması amaçlandı. Bu hücreler özel bir lösemi türü olan "Hairy Cell" lösemi hücreleri ile de karşılaştırıldı. Bu amaçla hücre zarı Con A reseptörleri sayı ve affinité açısından, bağlanma deneyleri ile ve zar hidrofobisitesi ANS aracılığı ile karşılaştırıldı. Ayrıca, ANS'nin zarda triptofan birimlerine yakın bölgelere bağlanması özelliğinden yararlanılarak triptofan birimleri ile ANS reseptörleri arası uzaklık saptandı.

## II- A R A Ç , G E R E Ç   v e Y Ö N T E M L E R

### II.1. Araç ve Gereçler:

Concanavalin A,  $\alpha$ -MM ve Ficoll (type 400) Sigma firmasından (ABD), PPO, POPOP, naftalen, metanol BDH firmasından (İngiltere), dicksan ve etilen glikol Merck firmasından (F. Almanya), hyamin hidroksit Packard Instrument firmasından (ABD), RPMI-1640 Gibco firmasından (ABD), Fetal Calf Serum Flow laboratories firmasından (İngiltere), metil selüloz Fisher Scientific Company firmasından (ABD), sığır serumu albümini Armour Pharmaceutical Company firmasından (ABD), hypaque (Urografen) Schering firmasından (F. Almanya) sağlandı.

Çalışmamızda, Sıvı sintilasyon cihazı(Packard Tricarb Model 3004(ABD)) Spektrofotometre(Beckman (R) (Model-25)), Santrifüjler (International Equipment Co. Model K-2 (ABD)), Işık mikroskopu(Olympus (Japon)) ve sallaman su banyosu(Nüve (Türk)) kullanılmıştır.

### II. 2. Yöntemler:

#### II.2.1. Lenfosit Ayrımı:

Çalışmaya beyaz küresi yüksek olan kronik lenfositik lösemi (KLL) tanılı hastalardan 20 cc periferik kan alına-

rak başlandı. 1/10 oranında EDTA (disodyum etilen-diamin tetraasetikasit, % 0.9 NaCL içinde % 2'lik olarak hazırlandı ve pH:7.4'e ayarlandı ) üzerine toplanan periferik kan eşit miktarda RPMI-1640 ile sulandırılarak Ficoll-Hypaque üzerine yayıldı ve 1350 rpm'de (850 g) 35 dakika oda ısısında santrifüjlendi. Elde edilen Ficoll-Hypaque interfazı dikkatle toplanarak 3 kez 4°C'da RPMI-1640 ile yıkandı ve hücre sayımı yapıldı (45).

Lenf bezlerinden çalışma yapıldığında ise lenf bezi tel süzgeç aracılığı ile süspansiyon haline getirildikten sonra 3 kez RPMI-1640 ile yıkandı ve sayım yapıldı.

Normal kişilerin kanından B-lenfosit izolasyonu için 150 cc. periferik kan 15 cc. EDTA üzerine toplandı. Üzerine 1/4 oranında metil selüloz (% 0.9'luk NaCL içinde) eklenerek karıştırıldı ve 1 saat 37°C'da çökmeye bırakıldı. İnkübasyon sonunda süpernatan kırmızı küre tabakasına kadar alınıp, santrifüjlendi ve hücreler 20 cc. RPMI-1640'da çözüldü. Süspansiyon haline getirilen hücrelerden lenfositleri ayırmak için Ficoll-Hypaque üzerine yayıldı ve 1350 rpm'de (850 g) 35 dakika oda ısısında santrifüjlendi. Elde edilen Ficoll-Hypaque interfazı dikkatle toplanarak 3 kez 4°C'da RPMI-1640 ile yıkandı ve hücre sayımı yapıldı(46).

### II.2.2. Lenfosit Altgruplarının Sayısal Değerlenmesi:

Ficoll-Hypaque yoğunluk gradienti ile ayrılan hasta periferik kan lenfositleri E<sup>+</sup> rozet, EAC rozet oluşumu ve SIg'nin açısından değerlendirildi.

a) E<sup>+</sup> rozet oluşumu: T-lenfositlerinin sayısal değerlendirilmesinde koyun eritrositleri ile kendiliğinden rozet oluşturma özelliğinden yararlanıldı. Bu amaçla heparinize koyun kanı 3 kez PBS ile yıkandı, RPMI-1640 içinde 0,5 %'lik sulandırımı hazırlandı. Hasta lenfositleri ise  $2 \times 10^6$  hücre/ml olacak şekilde yine RPMI-1640 içinde sulandırıldı. % 0,5'lik koyun eritrositlerinden 0,5 cc, 0,5 cc  $2 \times 10^6$  hücre/ml periferik lenfositler ile karıştırdı ve karışımıma 100  $\mu$  Fetal Calf Serum (FCS) eklenderek 37°C'da 15 dk. inkübe edildi. Daha sonra karışım oda sıcaklığında hafifçe santrifüjlenerek 18 saat 4°C'da bekletildi. Ertesi gün hafifçe eğerek süspansiyon haline getirilen lenfosit-koyun eritrositi karışımında rozet sayımı yapıldı. Toplam 200 hücre sayılık rozet %'si saptandı (47,48).

b) EAC rozet oluşumu: B-lenfositlerin sayısal değerlendirilmesinde sensitize koyun eritrositleri ile rozet oluşturma özelliğinden yararlanıldı. Bu amaçla PBS ile 3 kez yıkanan heparinize koyun kanından yine PBS içinde % 5'lik süspansiyon yapıldı. 1 cc. % 5'lik koyun eritrositleri üzerine 1 cc. Hemolitik Serum (GVB<sup>++</sup> içinde,

Biomerieux) eklenerek 30 dk. 37°C'da bekletildi. İnkübasyon sonunda 3 kez PBS ile yıkınan koyun eritrositleri 1 ml GVB içinde süspansiyon haline getirildi ve üzerine 100  $\lambda$  fare komplemanı eklendi. 37°C'da 30 dk. inkübasyon sonunda komplemanın fazlasından kurtulmak amacıyla ile karışım 3 kez GVB<sup>++</sup> ile oda ısısında yıkandıktan sonra 2 ml RPMI-1640 içinde süspansiyon haline getirildi. Bu karışımından 100  $\lambda$   $1 \times 10^6$  hücre/ml lenfosit ile karıştırılarak 37°C salanan su banyosunda 30 dk'a inkübe edildi ve hemen toplam 200 hücre sayılarak % EAC-rozet saptandı (47,48).

c) Yüzey İmmünoglobülinlerinin Fluoresan anti-Ig (polyvalent) ile işaretlenmesi:

$2 \times 10^6$  hücre/ml olarak RPMI-içinde süspansiyon haline getirilen lenfositler, TC Medium 199 (IX) (% 20 FCS, % 0.1 % Na Azide içeren) ile 4°C'da üç kez yıkandı. 100  $\lambda$  TC Medium 199 (IX) içinde süspansiyon haline getirilen hücrelere 100  $\lambda$  polyvalent FITC-a-human Ig'nin (Behring) 1:8 dilüsyonu eklenerek 30 dakika 4°C'da inkübe edildi. İnkübasyon sonunda, hücre süspansiyonu, antiserumun fazlasından kurtulmak amacıyla 3 kez TC Medium 199 (IX) ile 4°C yüksek hızda yıkandı. Üçüncü yıkama sonunda hücreler 100  $\lambda$  ortam içinde süspansiyon haline getirilerek lamine üzerine dikkatle yayıldı ve oda ısısında kurumaya bırakıldı. Yayma iyice kuruduktan sonra, 5 dakika absolu ethanol'de bekletilip tekrar kurumaya bırakıldı. Ardından 3 kez PBS

ile yıkandı ve kuruduktan sonra üstüne bir damla glycerol-PBS (1:9) karışımı damlatılıp lamel ile kapatıldı. Lamelin kenarları oje ile yapıştırıldıktan sonra immuno-fluoresan mikroskopta sayımla yapılmaya kadar 4°C'da bekletildi. Sayımlar en geç 24 saat içinde yapıldı.

### II.2.3. B-lenfositlerinin Saflaştırılması:

Ficoll-Hypaque yoğunluk gradientinden elde edilen periferik kan lenfositleri (PBL)  $15 \times 10^6$  hücre/ml olarak RPMI-1640 ile sulandırıldıktan sonra eşit hacimde % 5 koynun eritrositi (RPMI-1640 içindeki süspansiyonu) ve % 0.1 FCS ile karıştırılarak 30 dakika 37°C su banyosunda bekletildi. Bu süre sonunda 10 dakika oda ısısında hafifçe santrifüjlendi ve 60 dakika 4°C'da bekletildi. 60 dakika sonunda oluşan aktif rozet popülasyonunu ayırmak amacıyla karışım 1/1 oranında soğuk RPMI-1640 ile sulandırıldıktan sonra tekrar Ficoll-Hypaque yoğunluk gradienti üzerine yayıldı. 35 dakika 1350 rpm'de (850 g) oda ısısında santrifüjlenen rozet süspansiyonundan elde edilen interfaz toplanarak yine 3 kez RPMI-1640 ile 4°C'da yıkandı ve hücre sayımı yapıldı.  $15 \times 10^6$  hücre/ml olarak sulandırılan T-lenfositçe fakir hücreler, bir kez daha 4°C'da sensitize edilmiş koynun eritrositleri ile kendiliğinden rozet oluşturmaya bırakıldıktan sonra Ficoll-Hypaque aracılığı ile B-lenfositçe zengin interfaz toplanarak 3 kez soğuk RPMI-1640 ile

yıkandı ve soğuk PBS içinde  $0,5 \times 10^6$  hücre/ml olacak şekilde  $^{3}H$ -Con A ile bağlanma deneyinde kullanılmak üzere sulandırıldı (46).

Fluorimetrik tayinlerde kullanılacak B-lenfositler ise  $200-400 \times 10^3$  hücre/  $10\lambda$  olarak sulandırıldı.

#### II.2.4. Protein Tayinleri:

Con A ve türevleri için protein tayinleri 280 nm'de absorbans ölçümü ile yapıldı. Con A için molar ekstinksyon katsayısı olarak 1.14 kullanıldı (50).

#### II.2.5. Radyoaktivite Sayımları:

Radyoaktivite sayımları 5 ml. Bray çözeltisinde Packard Tri-Carb sıvı sintillasyon cihazında yapıldı. Aletin okuma verimi trityum için % 49 olarak bulundu.

#### Dioksan'ın Peroksitlerden Arındırılması:

Bray çözeltisinde kullanılan dioksan'ı sayılm sonuclarını yükselen peroksitlerden arındırmak için dioksan 2 saat sodyum üzerinden geri soğutucuda kaynatıldıktan sonra yine sodyum üzerinden distillendi (51).

#### Bray Sayım Çözeltisinin Hazırlanması:

4 gm PPO, 200 mg. POPOP, 60 gm naftalen, 100 ml metanol, 20 ml etilen glikol karıştırıldı ve dioksan ile bir litreye tamamlandı (52).

### II.2.6. $^3\text{H}$ -Con A'nın Hazırlanması:

100 mg Con A (BDH Biochemicals) 10 ml. 10 mM fosfat tamponu içeren serum fizyolojikte çözüldü. 10 mg/ml olan bu Con A çözeltisine, son derişimleri, 60 mM/ml olacak şekilde  $\alpha$ -Metilmannopiranozid (SIGMA M-6882) ve 1 mM olacak şekilde  $\text{Ca}^{+2}$   $\text{Mn}^{+2}$  eklendi ve 0°C'da 60 dk bekletildi. İnkübasyon sırasında, özgül etkinliği 500 uCi/mol olan  $^3\text{H}$ -asetik anhidrit sodyum üzerinden distillemiş dioksan da çözüldü. Con A'nın  $\alpha$ -Metilmannopiranozid ile inkübasyonu bitiminde pH'sı katı  $\text{Na}_2\text{CO}_3$  ile 8.85'e getirildikten hemen sonra, 5  $\mu\text{Ci}$   $^3\text{H}/\text{mg}$  Con A olacak şekilde  $^3\text{H}$ -asetik anhidrit ortama katıldı ve 90 dakika 0°C'da inkübe edildi. İnkübasyon sonunda karışım 90x1.5 cm boyutlarında PBS ile dengelenmiş Sephadex G-25 kolonuna uygulandı ve 2,5 ml/3 dakika akış hızı ile 50 fraksiyon toplandı. Tüm fraksiyonlarda protein tayini ve radyoaktivite sayımı yapıldıktan sonra aktif fraksiyonlar birleştirilerek radyoaktivitenin fazlasından kurtulmak amacıyla ile 24 saat 4°C'da PBS'ye karşı dializ edildi. Hazırlanan  $^3\text{H}$ -Con A'nın biologik etkinliğini koruyup korumadığını saptamak amacıyla hemaglutinasyon etkinliğine bakıldı (53).

### II.2.7. Mikrohemaglutinasyon:

Defibrine kandan ayrılmış ve serum fizyolojik ile 3 kez 1/10 oranında yıkılmış erkek tavşan eritrositlerinden % 1,5'luk süspansiyon hazırlandı.  $^3\text{H}$ -Con A 10 mM fosfat

tamponu içeren serum fizyolojik ile seyreltildi ve eritrositlerle U tipi hemaglutinasyon plaklarında 1 saat süre ile oda sıcaklığında inkübe edildi. Doğal Con A'ya karşı sızanan  $^{3}\text{H}$ -Con A'nın hemaglutinasyon etkinliği gösteren en düşük derişimi 2x sulandırımlarla saptandı (54).

#### II.2.8. Mikrofij teknigi ile bağlanma deneyi:

Saflaştırılmış B-lenfositler ( $0.5 \times 10^6$  hücre/ $100\text{ }\lambda$ )  $^{3}\text{H}$ -Con A, PBS ve  $\text{Ca}^{+2}$ ,  $\text{Mn}^{+2}$  ile son hacim 1 ml. olacak şekilde karıştırıldı. Fikse edilmiş hücreler ile bağlanma çalışıldığından, hücreler % 0,25'lik glutaraldehid ile  $0^{\circ}\text{C}$ 'da 30 dakika inkübe edildi ve 3 kez PBS ile yıkandıktan sonra  $0.5 \times 10^6$  hücre / $100\text{ }\lambda$  olacak şekilde sulandırıldı. Fikse edilmiş ve edilmemiş hücreler, ardisık olarak 20 veya 60 dakika  $4^{\circ}\text{C}$ 'da  $^{3}\text{H}$ -Con A ile bekletildikten sonra  $4^{\circ}\text{C}$ 'da yüksek dozda santrifüjlendi ve  $150\text{ }\mu\text{l}$  PBS ile kaldırılarak  $0.35$  ml % 5'lik BSA üzerine yayıldı.  $4^{\circ}\text{C}$ 'de yüksek hızda santrifij sonrası, hücre gökelegi  $100\text{ }\lambda$  Hyamin ile çözüldü.  $\alpha$ -Metilmanopiranocid  $\text{Ca}^{+2}$ ,  $\text{Mn}^{+2}$  PBS ve  $0.5 \times 10^6$  hücre içeren kontrol tüpleri Con A ile önceden 45 dakika  $0^{\circ}\text{C}$  da bekletildi. Radyoaktivite sayımları Packard Tri-carb sıvısı sintillasyon cihazında Bray sayım çözeltisi ile yapıldı (12).

II.2.9. Assosiasyon sabiti ( $K_a$ ) ve reseptör sayısı ( $N$ )'nın hesaplanması:

Reseptör-ligand ilişkisi:

$$R-L \rightleftharpoons RL \dots \dots \dots \dots \dots \dots \dots \dots \dots \dots \dots \dots \dots \dots \dots \dots \dots \quad (1)$$

olarak ifade edilecek olursa

$$K_a = \frac{(RL)}{(R)(L)} \dots \dots \dots \dots \dots \dots \dots \dots \dots \dots \dots \dots \dots \dots \dots \dots \dots \dots \quad (2)$$

burada :

$K_a$  : Assosiasyon sabiti

(R) : Serbest reseptör derişimi

(L) : Serbest ligand derişimi

(RL) : Reseptör-ligand kompleksi

Scatchard'in (55) ifadesine göre,

$$\frac{(L)_b}{(L)_f} = K_a(L)_b - K_a(R) \dots \dots \dots \dots \dots \dots \dots \dots \dots \dots \dots \dots \dots \dots \dots \dots \quad (3)$$

burada:

$(L)_b$ : bağlı ligand derişimi

$(L)_f$ : serbest ligand derişimi

(R) : toplam reseptör derişimi

$K_a$  : assosiasyon sabiti

eğer,

B : bağlı Con A

F : serbest Con A

N : Con A reseptörlerinin sayısı denilecek olursa

(3) numaralı denklem

$$\frac{B}{F} = K_a B - K_a N \dots \quad (4)$$

haline gelecektir.

(4) numaralı ifadeden faydalananarak B/F'ye karşı B çizilecek olursa, elde edilecek doğrunun eğimi ( $-K_a$ ), x-eksenini kestiği nokta da N olacaktır.

Radyoaktivite sayımları ile çizilmiş örnek bir grafikte,

$$\frac{\text{Sbd}}{\frac{\text{Özgül etkinlik} \times \text{Mol. ağırlık}}{(\text{Sbd}/\mu\text{g Con A})} \quad (\text{Con A})}} = \mu\text{M Con A (bağlı)}$$

$$\frac{\mu\text{M Con A (bağlı)} \times 6.02 \times 10^{23} \text{ (Avagadro sayısı)}}{\text{Deneyde kullanılan hücre sayısı} \quad \text{ hücre sayısı}} = (\text{reseptör})$$

Aynı şekilde radyoaktivite sayımları ile çizilmiş bir grafikte;

$$\text{Eğim} = \frac{y_1 - y_0}{x_1 - x_0} = \frac{y}{x'} = -K_a$$

Özgül etkinlik (sbd/ $\mu\text{g Con A}$ )

$$-K_a = \frac{y}{\frac{x' \cdot 10^{-6}}{\text{Mol. ağırlık(Con A)}}} \times 10^{-3}$$

$K_a (M^{-1}) = \frac{y}{x'} \times 10^3 \times \text{Mol. ağırlık Con A olarak}$   
hesaplanır.

#### II.2.10. Fluorometrik Tayinler:

2.4 ml PBS içeren fluorometre küvetine 5  $\mu$ l, 5 mM ANS (1-anilinonaftalene-8-sulfonat  $Mg^{+2}$  tuzu) katıldı, emisyon dalga boyu 500 nm'ye ayarlanarak eksitasyon spektrumu saptandı. 350 nm de bulunan maksimum eksitasyona ayarlanan alette bu kez maksimum emisyon dalga boyu 515nm olarak bulundu. Aynı işlemler hücreler varlığında da tekrarlanarak emisyon maksimumunda sapma olmadığı saptandı.

ANS bağlama bölgelerinin polaritesi için:

$$Q = \frac{0.4 \times F_{\text{maks}}}{F_{\text{etanol}}}$$

bağıntısından yararlanıldı. Burada Q kuantum verimi,  $F_{\text{maks}}$  (PBS deki maksimum fluoresans),  $F_{\text{etanol}}$  (mutlak etanoldeki fluoresans), 0.4 ANS'nin etanoldeki kuantum verimidir. Buna bağlı olarak 0.4 değerinde düşme, ortam polaritesinin azalma derecesi ile orantılıdır.  $F_{\text{maks}}$ 'in saptanması için 2.4 ml PBS içeren fluorometre küvetine 5  $\mu$ l 5 mM ANS varlığında ve yokluğunda, yaklaşık  $5 \times 10^5$  hücre/ $10 \text{ \AA}$  lik hücre süspansiyonları katıldı ve fluoresans saptandı. Düzeltilmiş fluoresans ANS varlığında elde edilen değerlerden ANS yokluğunda elde edilen ve ışık saçılı-

limina ait değerlerin çıkarılması ile elde edildi ( $F_d$ ).  $1/F_d$  değerleri  $1/\text{ hücre}$  değerlerine karşı grafiklenerek sıfıra ekstrapole edildi ve  $F_{\text{maks}}$  saptandı. ANS bağlanma bölgelerinin sayı ve affinitelerinin saptanması için yaklaşık  $4 \times 10^6$  hücre içeren 2.5 ml PBS üzerine değişik derişimlerde ANS katıldı ve fluoresans değerleri saptandı ( $F$ ). Aynı işlem hücre yokluğunda yalnız ANS ile tekrarlanarak elde edilen değerler ( $F_0$ ) düzeltme için kullanıldı. Bağlı ANS miktarı

$$\text{ANS bağılı} = \frac{(F - F_0) \times l}{F_{\text{maks}}}$$

bağıntısı kullanılarak hesaplandı. Bu değerler ortama konulan toplam ANS derişiminden çıkarılarak serbest ANS miktarları bulundu.

Bağılı/serbest ANS değerleri bağlı ANS değerlerine karşı grafiklenerek elde edilen Scatchard doğrularından  $K$  affinite sabiti ve  $N$  reseptör sayıları hesaplandı. Bağlı ANS ile zardaki triptofanlar arasındaki enerji transferi aracılığı ile zardaki triptofanlar ve ANS arası uzaklıklar hesaplandı. Yaklaşık  $5 \times 10^6$  hücre içeren 2.5 ml'lik süspansiyonun önce 290 nm'de absorbsiyonu ölçüldü ( $A_1$ ), aynı örneğin fluoresansı 290 nm ile eksite edilerek 335 nm emisyon dalga boyunda ölçüldü ( $F_1$ ). Bundan sonra ANS

( $10 \mu\text{l}$ ,  $5 \text{ mM}$ ) katılarak tekrar fluoresans ( $F_2$ ) ve absorbasyon ( $A_2$ ) ölçüldü. Enerji transferinin verimi  $F_1/F_2$  olarak alındı.  $F_1$  ve  $F_2$  "iç filtre etkileri" için düzeltildi. Bu düzeltme için:

$$K(A) : \frac{2.3 A \Delta y}{T^{y_1} - T^{y_2}}$$

bağıntısı ile elde edilen değerler kullanıldı. Burada  $A$  absorbasyon,  $T$  transmittans,  $y_1$  küvet ile emisyon slitleri arasındaki uzaklık,  $\Delta y$  emisyon slit açıklığıdır ( $\Delta y = y_2 - y_1$ ). Enerji transferinin verimi;

$$T = 1 - \frac{F_2}{F_1} \text{ dir.}$$

$R = R_0 \sqrt[6]{\frac{1}{T}} - 1$  bağıntısı ile triptofan ve ANS arası uzaklık ( $R$ ) hesaplanabilir. Burada  $R_0$  ANS için  $23.3 \text{ A}^0$ 'dır. Değişik ANS derişimlerinde hesaplanan  $K$  değerleri ANS derişimine karşı grafiklenerek sıfıra ekstrapolasyonu ile limit değeri elde edildi (56).

### III- B U L G U L A R

#### III.1. Hasta gruplarında T ve B-lenfositlerinin Sayısal Değerlendirilmesi:

Çalışma kapsamına H.Ü. Tıp Fakültesi Onkoloji Bilim Dalından klinik olarak KLL tanısı almış ve E ve EAC rozet aracılığı ile B-lenfosit hakimiyetli KLL olduğu saptanmış 6 hasta alınmıştır. E ve EAC rozet sonuçları Tablo I'de görülmektedir.

H.Ü. Tıp Fakültesi Patoloji Bilim Dalından lenfoma tanısı almış 4 hastanın lenf nodu biopsisi E, EAC rozet ve yüzey immunoglobulini (SIg) açısından değerlendirilmiştir. Lenf nodu biopsilerinin E, EAC rozet ve yüzey immunoglobulin sonuçları Tablo II'de görülmektedir.

Ayrıca, Onkoloji Bilim Dalından "Hairy Cell" lösemi tanısı almış ve yine E, EAC rozet ve SIg ile tiplendirilmesi yapılmış 2 "Hairy Cell" vakası çalışma kapsamına katılmıştır. "Hairy Cell" vakalarının E, EAC rozet ve SIg değerleri Tablo III'de görülmektedir.

TABLO I

KLL Tanılı Hastaların Periferik Lenfositlerinin T ve B  
Lenfositler Açısından İncelenmesi

HASTA	T-Lenfosit (% E <sup>+</sup> )	B-Lenfosit (% EAC <sup>+</sup> )
1) Ş.T.	3	32
2) B.E.	5	75
3) B.Q.	14	45
4) İ.U.	5	70
5) H.B.	10	50
6) G.Ö.	25	43

TABLO II

Lenfoma Tanılı Hastaların Lenf Nodu Lenfosit Popülasyonu-  
nun T ve B-Lenfositler Açısından İncelenmesi

HASTA	T-Lenfosit (% E <sup>+</sup> )	B-Lenfosit (% EAC <sup>+</sup> )	B-Lenfosit (% SIg <sup>+</sup> )
1) M.E.	3	77	44
2) F.K.	7	49	7
3) A.A.	5	75	55

TABLO III

"Hairy Cell" Tanılı Hastaların Periferik Lenfositlerinin  
T ve B Lenfosit Açılarından İncelenmesi

HASTA	T-Lenfosit (% E <sup>+</sup> )	B-Lenfosit (% EAC <sup>+</sup> )	B-Lenfosit (% SIg <sup>+</sup> )
1) H.Y.	20	2	25
2) Ö.A.	75	5	16

"Hairy Cell" lösemi tanısı konmuş hastaların periferik lenfositleri T ve B+null olarak ayrıldıktan sonra her iki grup "hairy cell" görünlü hücrelerin sayısal oranını saptamak amacıyla faz kontrast mikroskopta incelenmiştir. Sonuçlar Tablo IV'de verilmiştir.

TABLO IV

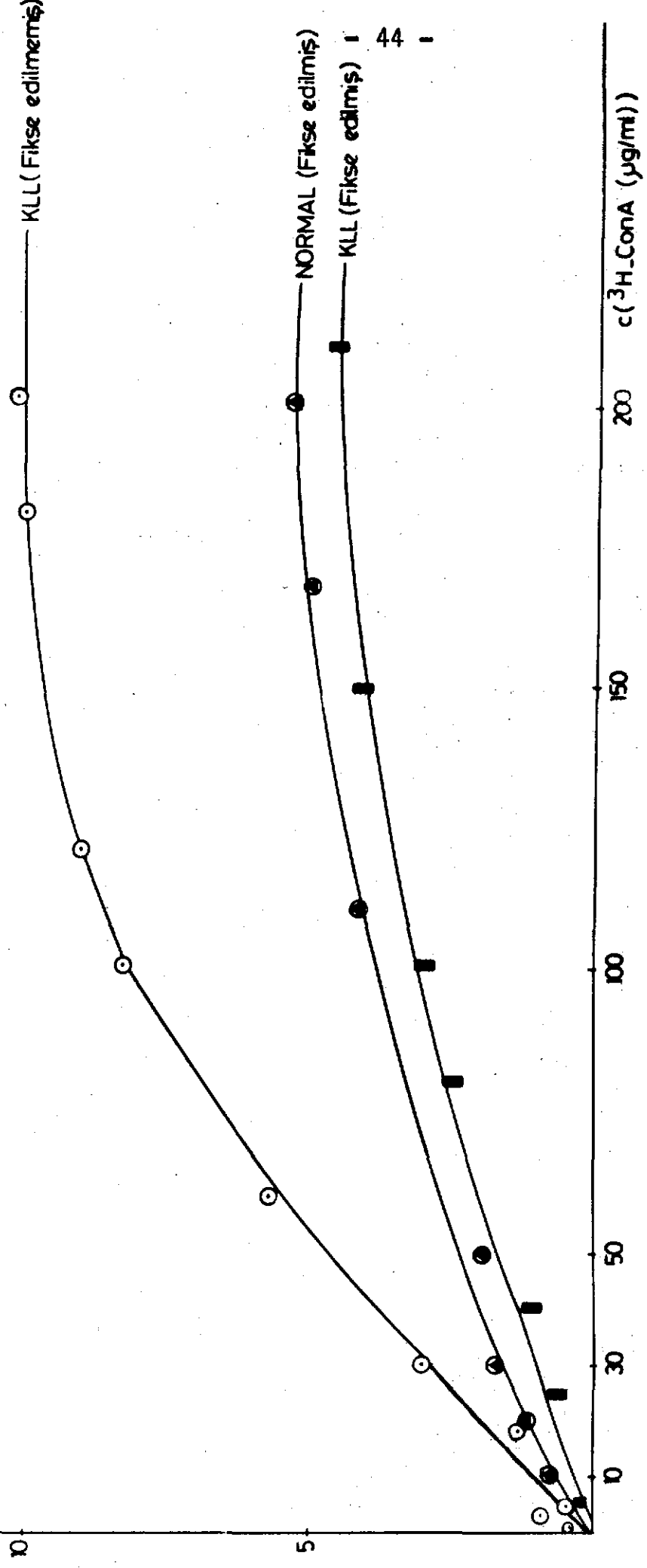
"Hairy Cell" Lösemi Tanılı Hastaların T ve B+Null olarak  
ayrılmış Periferik Lenfositlerinde "Hairy Cell" görünlü  
Hücreler

HASTA	% Hairy Hüresi
1) H.Y.	
B+Null Lenfositleri	88
T-Lenfositleri	6
2) Ö.A.	
B+Null Lenfositleri	60
T-Lenfositleri	5

KLL ve "Hairy Cell" lösemili hastaların periferik kanlarından Ficoll-Hypaque yoğunluk gradienti ile ayrılan lenfositlerden  $2x E^+$  rozet aracılığı ile B+Null lenfosit popülasyonu ayrılmış ve  $^{3}H$ -Con A ile bağlanma deneylerinde kullanılmıştır. Fikse edilmiş lenfositlerin kullanıldığı deneylerde ise  $2x E^+$  rozet aracılığı ile ayrılan B-Null lenfosit popülasyonu glutaraldehid aracılığı ile fikse edildikten sonra  $^{3}H$ -Con A ile bağlanma deneylerinde kullanılmıştır.

### III.2. $^{3}H$ -Concanavalin A ile Hücrelerde Con A Rezeptör Sayılarının ve Affinitelerinin İncelenmesi:

Sağlıklı kişilerin ve KLL'li hastaların B+Null lenfositleri ile yapılan bağlanma deneylerinin sonuçları Tablo V'de özetlenmiştir. Şekil 4'de fikse edilmiş normal B-lenfositler ve KLL'li hastaların fikse edilmiş ve edilmemiş B-lenfositleri için bağlanma eğrileri görülmektedir. "Hairy Cell" lösemili hastaların bağlanma eğrisi Şekil 5'de görülmektedir. Normal ve KLL B-lenfositlerinin aksine, "Hairy Cell" lösemili hastalarda, bağlanma eğrisi "sigmoid"dir, bu nedenle, Hairy hücreleri için Scatchard doğruları çizilemediğinden Con A rezeptör sayısı ve assosiasyon sabitleri saptanamamıştır.

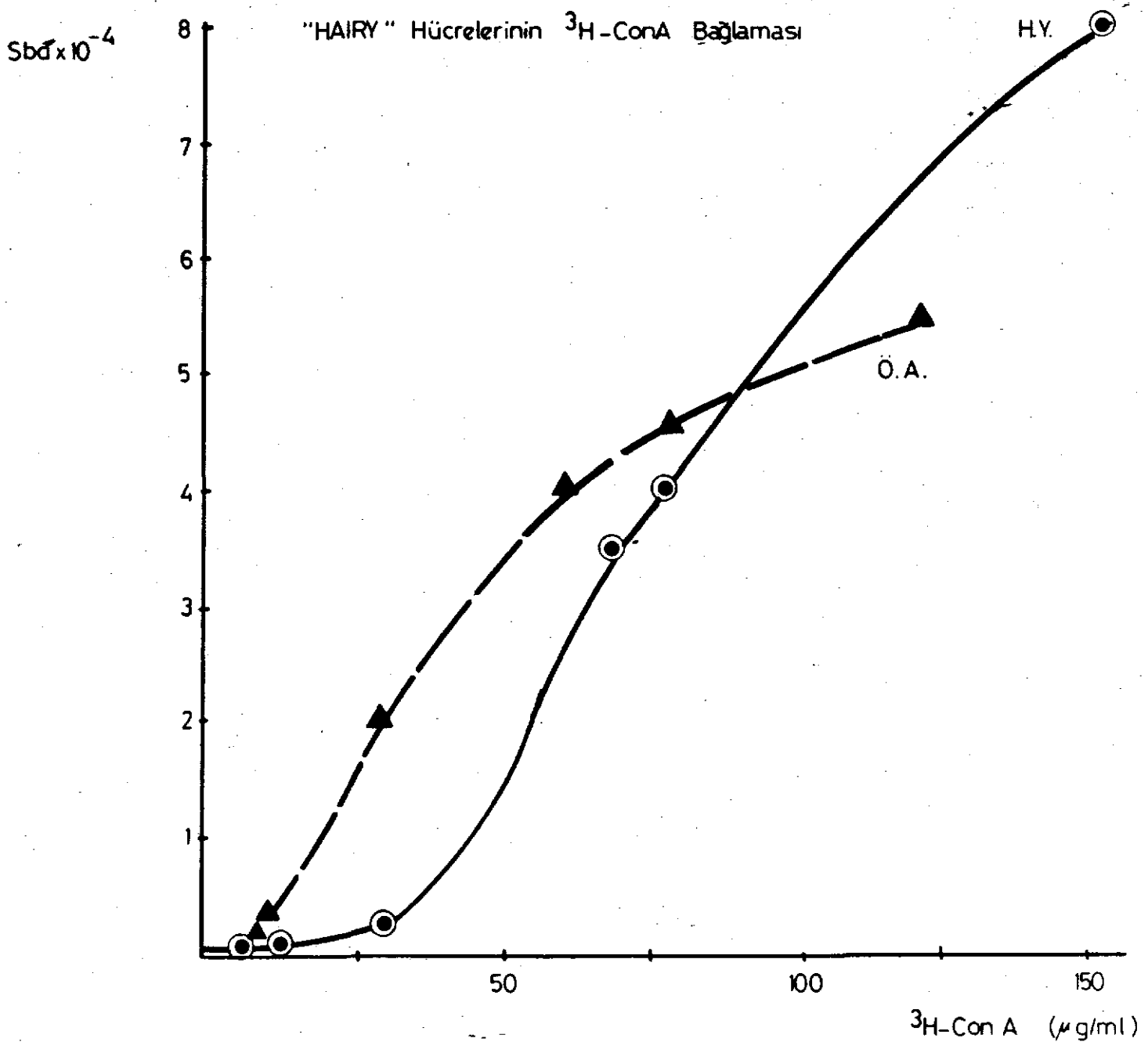


Şekil 4: Normal ve KLL B-Lenfositleri için Bağlantı Eğrileri

●: Normal B-Lenfositleri

○: Fikse edilmemiş KLL B-Lenfositleri

■: Fikse edilmiş KLL B-Lenfositleri

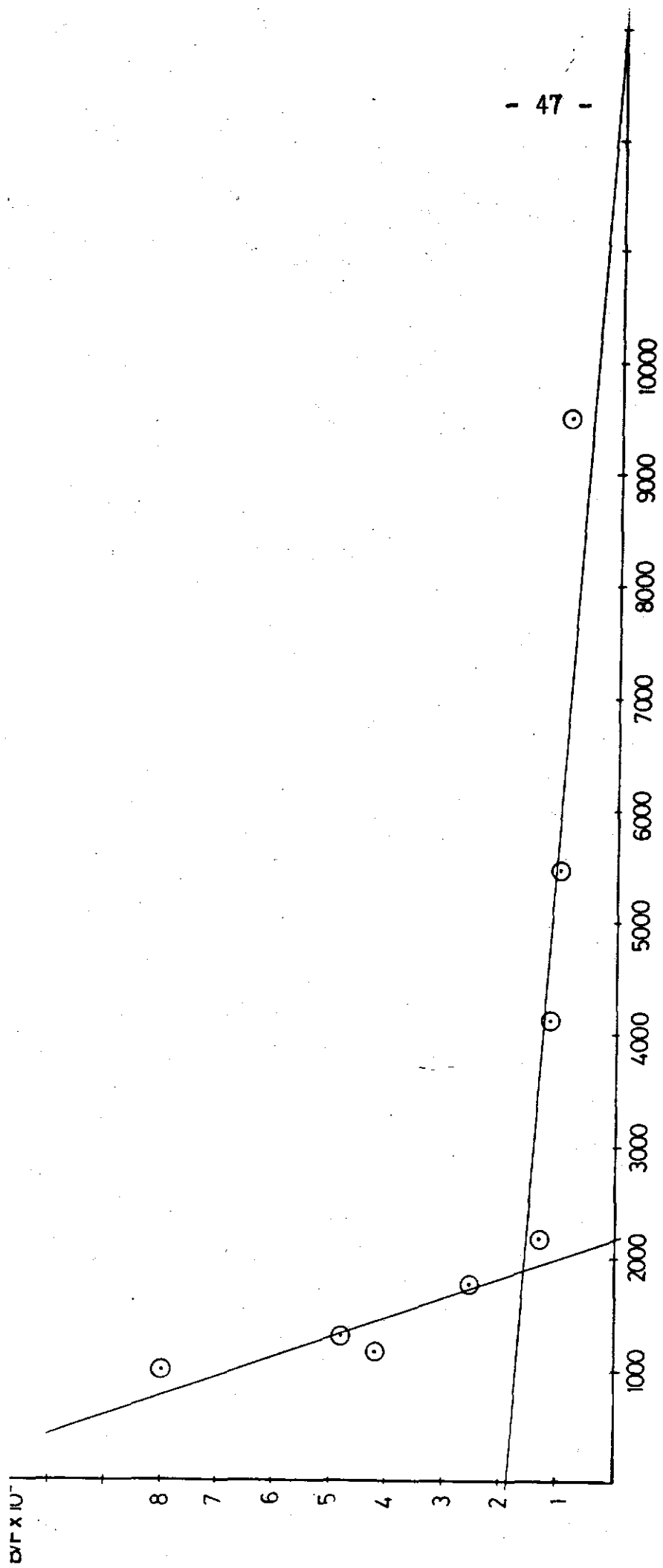


Şekil 5: Hairy Cell Hücrelerinin Bağlanma Eğrisi.

KLL'li hastaların lenfositleri ve "Hairy Cell" lösemili hastaların periferik hücreleri ile yapılan tüm bağlanma deneylerinde özellikle yüksek Con A derişimlerinde  $\alpha$ -Metilmannopironozid'li kontrol değerleri çok yüksek bulunduğuundan bağlanma eğrilerinde gösterilmemiştir (Bakınız tartışma).

Fikse edilmiş normal ve KLL B-lenfositlerinin Scatchard doğruları ardışık olarak Şekil 6 ve 7'de görülmektedir. Scatchard analizi sonucu hem normal hem de lösemik B-lenfositlerde farklı affinitede iki reseptör olduğu saptanmıştır. Bağlanma çalışmalarında fikse edilmemiş lenfositler kullanıldığında, lösemik B-lenfositler için yüksek affiniteli reseptörün normale göre yaklaşık 3 misli daha yüksek affinitede olduğu gözlenmiştir. Normal ve lösemik grubun B-lenfositleri glutaraldehyd aracılığı ile fikse edildiğinde ise, normal lenfositler için hesaplanan affinite değerinde farklılık olmazken lösemik grupta bu değer on kez azalmaktadır.

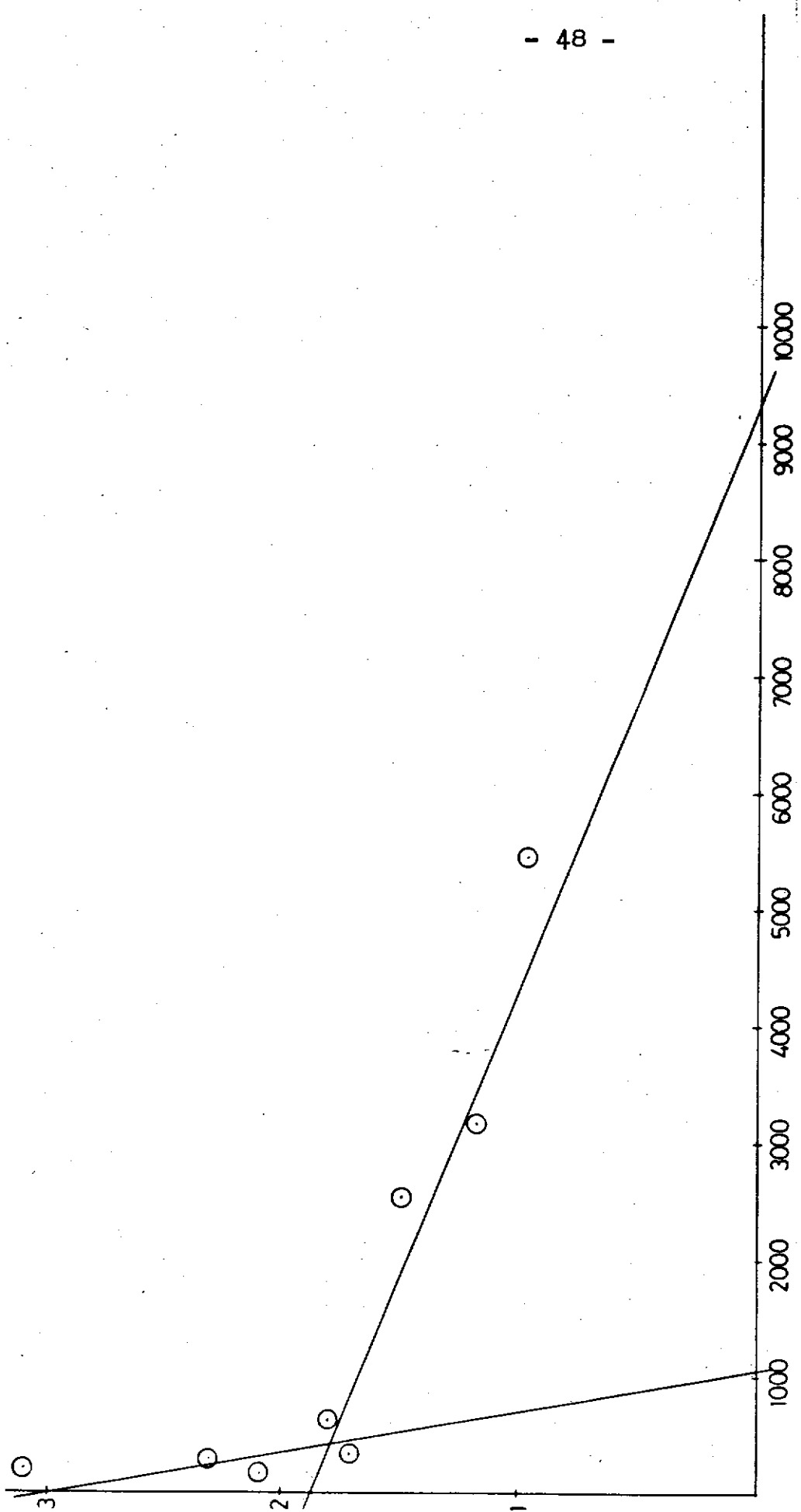
Düşük affiniteli ikinci reseptör ise normal, lösemik, fikse edilmiş veya edilmemiş lenfositlerde yaklaşık aynı değeri vermektedir.



Sekil 6: Fiks edilmiş Normal B-Lenfositlerinin Scatchard Doğrusu

Ordinat: Bağlı/Serbest  $^3\text{H}$ -Con A.

Absissa:  $^3\text{H}$ -Con A ( $\mu\text{g}/\text{ml}$ )



Şekil 7: Fiks edilmiş KLL B-Lenfositlerinin Scatchard Doğrusu.

Ordinat: Bağlı/Serbest  ${}^3\text{H-Con A}$

Absissa:  ${}^3\text{H-Con A} (\mu\text{g/ml})$

TABLO V  
Con A Reseptörlerinin Sayı ve Affiniteleri

	$Ka_1$ (M <sup>-1</sup> )	$Ka_2$ (M <sup>-1</sup> )	$N_1$ Bağlantı Bölgesi/Hücre	$N_2$ Bağlantı Bölgesi/Hücre
Normal (Fiks edilmemiş)				
n = 2	$18.6 \times 10^6$	$0.7 \times 10^6$	$9.1 \times 10^6$	$40 \times 10^6$
KLL (Fiks edilmiş)				
n = 2	$54.4 \times 10^6$	$0.6 \times 10^6$	$2.7 \times 10^6$	$36.6 \times 10^6$
Normal (Fiks edilmiş)				
n = 2	$19.1 \times 10^6$	$0.7 \times 10^6$	$5.3 \times 10^6$	$29.5 \times 10^6$
KLL (Fiks edilmiş)				
n = 4	$6.2 \times 10^6$	$0.5 \times 10^6$	$4.9 \times 10^6$	$33.8 \times 10^6$

Reseptör sayılarında ise, fiksasyon ile her iki grupta da farklılık oluşmuştur. Fiksasyon ile normal lenfositlerin yüksek affiniteli reseptörlerinde sayısal azalma gözlenirken, lösemik grupta artma gözlenmektedir. Düşük affiniteli reseptörlerin sayısı ise fiksasyon sonunda her iki grupta da azalmıştır.

### III.3. Hücrelerde ANS Bağlanması Yerlerinin Sayı ve

#### Affinitelerinin İncelenmesi:

KLL, lenf bezini ve "Hairy Cell" lösemi hücrelerinin göreli hidrofobisitesini saptamak amacıyla ANS bağlanması bölgelerinin sayı ve affiniteleri hesaplanmıştır. Sonuçlar normal ve hastalar için Tablo VI'da özetlenmiştir. KLL B-lenfositlerinin hidrofobik bölgelerinin sayısı normale göre oldukça azalmıştır. Buna karşın bu bölgelerin hidrofobisitesi normale göre yükselmiştir. Lenf nodu B-lenfositleri hidrofobik bölgelerin sayısı açısından KLL B-lenfositlerine yakın benzerlik göstermektedir. Buna karşın lenf nodunda, bu bölgelerin hidrofobisitesi normal B-lenfositler için elde edilen değerin altına düşmüştür. "Hairy" hücrelerinde ise hidrofobik bölgelerin sayısı normalin yarısına karşı gelmektedir. Hidrofobisite açısından ise Hairy hücreleri lenf nodu lenfositlerine benzerlik göstermektedir.

TABLO VI  
ANS Bağlanma Bölgelerinin Sayı ve Affinitesi

Ka	N	R
Normal $n = 4$	$14 \cdot 3 \times 10^4$  $4 \cdot 8 \times 10^8$	32.6
KIL $n = 5$	$20 \cdot 5 \times 10^4$  $0 \cdot 9 \times 10^8$	29.2
Lent Nodu $n = 4$	$9 \cdot 3 \times 10^4$  $1 \cdot 1 \times 10^8$	29.6
"Hairy Cell" Lösemi $n = 2$	$9 \cdot 23 \times 10^4$  $2 \cdot 86 \times 10^8$	28.2

III.4. Hücrelerde ANS Bağlanma Yerleri ile Triptotan Molekülleri Arasındaki Uzaklığın ( $r$ ) İncelenmesi:

Tablo VI'da ayrıca zardaki ANS bağlanma bölgeleri ile en yakın Triptofan birimleri arası uzaklıklar özetlenmiştir. Triptofan birimlerinin ANS bağlanma bölgесine uzaklığı normal B-lenfositlerinde  $32,6 \text{ \AA}^0$  iken, KLL ve lenf nodu B-lenfositlerinde azalmış görülmektedir. KLL ve lenf nodu B-lenfositleri bağlanma bölgelerinin Triptofan birimlerine uzaklığı açısından birbirine benzerlik göstermektedir. Hairy hücrelerinde ise bu uzaklık oldukça azalmış görülmektedir.

#### IV- T A R T I Ş M A

Normal insan kanından periferal lenfositlerin ayrılması ve daha sonra bu lenfositlerden B-lenfositlerinin saflaştırılması amacıyla kullanılan yöntem Boyum'un (45) yoğunluk santrifügasyonu prensibine dayanan yönteminin bir modifikasyonudur (46). Bu modifikasyonun önemi çok az Ficoll-Hypaque kullanarak (diğer yöntemlerin 1/10'nu kadar) ayırım yapması ve eritrosit bulasığının en düşük düzeyde tutulabilmesidir.

B-lenfositlerin saflaştırılmasında rozet oluşumunun 30 dk. 37°C'da iki kez gerçekleştirilmesi ve özellikle ikinci rozetlemede yaklaşık 18 saat beklenmesi T-lenfositlerinin büyük ölçüde giderilmesini sağlamıştır. Bu yöntem ile ilk rozetlemede aktif T-lenfositleri, ikinci rozetlemede ise geri kalan lenfositler uzaklaştırılmış olmaktadır. Bu çalışmada B-lenfositi denildiğinde T-lenfositlerinden fakir B+Null lenfosit popülasyonu ifade olunmaktadır.

Bu çalışmada, kronik lenfositik lösemili (KLL) hastalara tanı konulmasında klinik ve hematolojik yöntemlerin

yanısına B-lenfositlerinin tanımı için yüzey immunoglobulin ve EAC-rozet yöntemleri immunolojik kriterler olarak kabul edilmiştir.

Con A hücre yüzeyinin yapısı açısından normal ve transforme hücrelerin karşılaştırılmasında pek çok araştıracı tarafından özgül bir ligand olarak kullanılmıştır (20,30) Bu amaçla çok değişik yöntemlerle işaretlenmiş Con A kullanılmaktadır. Deneylerimizde kullanılan  $^{3}\text{H}$ -asetil türevinin, hemaglutinasyon deneyi ile doğal lektine eşdeğer biolojik etkinliğe sahip olduğu gösterilmiştir. Yanısına, yüksek özgül etkinlikte ve dayanıklı olması nedeniyle diğer lektin işaretleme yöntemlerine tercih edilmiştir. Bu nitelikler, özellikle hücre yüzeyindeki az sayıda ve yüksek affiniteli reseptörün saptanmasında önem kazanmaktadır (57).

Bu çalışmada kullanılan bağlanma yöntemi ve sonuçların Scatchard yöntemi ile analizi özgül olmayan bağlanmayı minimale indirmekte ve endositozu duyarlı bir şekilde ölçmektedir. Ayrıca, yöntemin yeğlenmesinin bir diğer nedeni, hücreleri yıkama ve pipetleme gibi mekanik etkilerle fazla oranda karşı karşıya bırakmamasıdır. Bağlanma deneylerinin 0-4°C aralığında yapılması zar akışkanlığını azaltarak reseptör gevresini etkilemektedir. Zar akışkanlığındaki bu azalma ise, deney sonuçlarının hatalı yorumuna neden

olabilecek endositozun önüne geçilmesine olanak vermektedir. Virus ile transforme doku kültürü hücreleri kullanılarak yapılan bir çalışmada  $0^{\circ}\text{C}$ 'daki deneylerin  $22^{\circ}\text{C}$ 'da yapılan deneylere kıyasla, hücre içine alınan lektin miktarında (internalized) önemli azalma sağlandığı saptanmıştır. Yine aynı çalışmada  $22^{\circ}\text{C}$ 'da yapılan bağlanma deneyinde Con A'nın özgül reseptörler dışında da hücre yüzeyine bağlandığı ve hücre içine alındığı belirtilmektedir.  $0^{\circ}\text{C}$  bağlanmanın azalışı  $22^{\circ}\text{C}$ 'da kıyasla bu sıcaklıkta lipid fazının fiziksel durumundaki farklılığı bağlanmıştır (58). Ancak, KLL'li hastalarda B-lenfositleri ile yapılan deneyler  $0^{\circ}\text{-}4^{\circ}\text{C}$  aralığının endositozun önüne geçmek için yeterli olmadığını göstermiştir. Normal (fikse edilmiş ve edilmemiş) B-lenfositleri ile yapılan deneyler ise  $0\text{-}4^{\circ}\text{C}$  aralığının endositozu yeterli düzeyde engellediğini ortaya koymaktadır.

Reseptörlerin sayı, affinité ve heterojenliğinin ölçülmesinde en çok kullanılan yöntem Scatchard yöntemidir (55). Scatchard analizi ile değerlendirmede, ortama konan ligandin % 10'nu veya daha fazlası bağlılığı takdirde, sonsuz reseptör olduğu anlamında yatay bir doğru elde edilir. Deneylerimizde bağlanma daima ortama konan toplam serbest lektinin % 5'inden az olmuştur. Bu da Scatchard analizi sonuçlarının geçerliliğine işaret etmektedir.

Hücre zarının yapısında hidrofilik bölgeleri protein ve glikoproteinler oluşturmaktadır. Fosfolipidler ise büyük ölçüde hidrofobik bir matriks oluşturur. Bu çalışmada, zar hidrofobisitesi hakkında fikir edinmek amacıyla ANS'den yararlanılmıştır. ANS hidrofilik ve hidrofobik ortamlarda farklı fluoresans veren bir bileşiktir. Herhangi bir zarın ANS bağlayan bölgelerinin çokluğu, zarın hidrofobisitesinin yüksekliği ile doğru orantılıdır (56). ANS ile yapılan deney sonuçlarının yine Scatchard yöntemi ile analiz edilmesi, zardaki hidrofobik bölgelerin sayısı ve hidrofobisitesi hakkında fikir edinilmesine olanak sağlamıştır. ANS, ayrıca, zar proteinlerinin triptofanları ile enerji alış verişine girdiğinden (56), bağlanma bölgesi ile triptofan birimleri arası uzaklığın hesaplanması mümkün olmuştur.

Şekil 4'deki bağlanma eğrisinde fikse edilmemiş KLL lenfositlerinin normal B-lenfositlerine oranla iki kez daha fazla Con A bağladığı görülmektedir. KLL lenfositlerindeki yüksek bağlanmanın  $\alpha$ -MM kontrollarının çalışmamasına bağlı olduğu düşünülebilirse de Şekil 4'de görüldüğü gibi normal lenfositler için bağlanmada da  $\alpha$ -MM kontrolları hesaba katılmamıştır. Bu nedenle iki lenfosit türü arasındaki bağlanma farklı özellikle düşük derişimler için özgül olmayan bağlanmadan ileri gelmemektedir. Diğer taraftan fikse edilmiş KLL lenfositlerinde de  $\alpha$ -MM kontrollarının

çalışmamasına karşın toplam bağlanma yaklaşık olarak normal düzeyine düşmektedir.

Bu çalışmada kullanılan hücrelerin çoğunda  $\alpha$ -MM kontrollarının çalışmıyor olması özellikle yüksek derişimlerde özgül olmayan bağlanmanın denetim altında tutulmadığını ortaya koymustur. Bu nedenle düşük affiniteli çok sayıdaki reseptörlerin sayı ve affinitelerinin karşılaştırılması kanımızca fazla önem taşımamaktadır. Diğer taraftan yüksek affiniteli az sayıdaki reseptörün karşılaştırılması büyük önem taşımaktadır.

Özellikle fikse edilmiş KLL lenfositlerinde toplam bağlanmanın düşmesi bu tür lenfositlerin büyük ölçüde reseptör aracılı endositoz yaptığıni düşündürmektedir (59). Daha önce yapılan çalışmalar normal büyümeye ve farklılaşmanın hücre zarının dinamik değişikliği ile el ele gittiğini ortaya koymustur (60) bu değişiklikler mikrotübüll ve mikrofilaman sistemindeki değişimlere bağlı olabileceği gibi lipid bileşimindeki değişimlere de bağlı olabilir (38). KLL lenfositleri ile daha önce yapılmış çalışmalararda lipid tabakada kolesterol miktarlarının azaldığı ve buna bağlı olarak zarın akışkanlığında artma gözlendiği belirtilmektedir (61,62). Zar akışkanlığındaki artmaya karşın bu tür lösemili hücrelerin kutup oluşturma yeteneğinin çok azlığı da saptanmıştır (39). Zarda yatay

(lateral) harekete bağlı bir olay olan kutup oluşturma KLL'de azalırken, fikse edilmemiş normal ve KLL lenfositleri ile yaptığımız deneylerde KLL lenfositlerinin çok daha yüksek Con A bağlaması endositozun bu hücrelerde farklı bir mekanizma ile olduğunu düşündürebilir.

"Hairy Cell" lösemili hastalarda morfolojik olarak zarda uzantılar ve saçaklar gösteren "Hairy" hücrelerinde ise bağlanmanın sigmoid karakterli olduğu gözlenmiştir. Fiksasyon ile sigmoid bağlanmanın önüne geçilememektedir. Bu da reseptörler arası etkileşimin zar akışkanlığı nedeniyle ortaya çıkmadığını göstermektedir. Sigmoid bağlanmanın dimer-tetramer Con A arasında seçim yapan farklı tür reseptörlere bağlı olduğu kanısına varılmıştır.

Hairy Cell lösemili iki hastadan elde edilen somuçlar splenektomi sonrası değişik zamanlarda tekrarlandığında sigmodisitenin periferdeki toplam hairy hücre yüzdesi ile doğru orantılı olarak arttığı gözlenmiştir. Bu bulguda sigmoid bağlanma davranışının tümüyle hairy hücre karakteristiği olduğuna işaret etmektedir. Yapılan bir diğer çalışmada yine "Hairy" hücrelerinin özelliği olarak bu hücrelerin spontan kutup (capping) oluşturmasının hiçbir şekilde önlenemediği ileri sürülmüştür (63).

ANS aracılığı ile yapılan deneylerde KLL, lenf bezi ve hairy hücrelerinin zar hidrofobisiteleri normalden çok

farklı bulunmuştur. KLL B-lenfositlerinin yüksek hidrofobisitede, daha az sayıda hidrofobik bölge içermesi kutuplaşmaya kadar gitmeyen gruplaşma (patching) ile açıklanabilir (64). Bu da yukarıda sözü edilen endositozu hızlandırıcı bir etken olabilir.

Özetle, bazı malign lenfoproliferatif hastalıklarda transforme hücrelerin Con A bağlama özellikleri normalden farklılıklar göstermektedir. KLL lenfositlerinin normale göre daha fazla Con A bağlanması Hairy hücrelerinin ise sigmoid bağlanma göstermesi en belirgin özellikleri dir. Fiks edilmemiş hücreler ile yapılan deneylerin sonuçları fiks edilmiş hücreler ile yapılan deney sonuçları ile karşılaştırıldığında, KLL lenfositlerinde endositoz kapasitesinin büyük ölçüde arttığı gözlenmiştir. Bulgularımız, fiksasyon ile endositozun durdurulmasının daha geçerli bağlanma sonuçları verdiği göstermektedir. Diğer taraftan Hairy hücreleri fiksasyondan etkilenmemekte ve sigmoid bağlanma özelliklerini korumaktadır.

KLL lenfositlerinde kutuplaşmaya kadar gitmeyen bir gruplaşmanın olduğu da bir diğer önemli özellik olarak düşünülebilir. Sözü edilen bu çalışmada zar değişikliklerinin normal farklılaşma mekanizmalarında meydana gelebilecek bir hata ile ortaya çıkması olasılıdır. Bu olasılığın farklılaşmanın hangi evresinde ortaya çıktığının araştırılması transformasyon mekanizmalarına ışık tutacaktır  
kanısındayız.

Ö Z E T

Lenfoproliferatif hastalıklarda hücre zarının özeliliklerini açığa kovutmak amacıyla yapılan bu çalışmada  $^{3}H$ -Con A reseptörleri sayı ve affinite açısından karşılaştırılmıştır. Normal ve KLL B-lenfositlerinde farklı affinitede iki reseptör olduğu saptanmıştır. Yüksek affiniteli reseptörün affinitesi KLL B-lenfositlerinde normale kıyasla 10 kez daha düşüktür. Düşük affiniteli reseptör ise iki grup arasında büyük farklılık göstermemektedir. Reseptör sayıları açısından karşılaştırma yapıldığında ise normal lenfositlerde yüksek affiniteli reseptör daha fazla görülmektedir. Buna karşın lösemik B-lenfositlerde düşük affiniteli reseptör sayıca artmıştır.

ANS aracılığı ile zar hidrofobisitesi açısından karşılaştırma yapıldığında KLL B-lenfositlerinin hidrofobik bölgelerinin normale göre oldukça azaldığı saptanmıştır. Buna karşın bu bölgelerin hidrofobisitesi KLL'de normale göre yükselmıştır.

Lenf nodundan izole edilen B-lenfositleri ise periferik lenfositlere benzerlik göstermektedir.

Diğer bir grubumuzu oluşturan Hairy Cell lösemi hücrelerinde ise hidrofobik bölgelerin sayısı normalin yarısına karşı gelmektedir. Hidrofobisite açısından Hairy hücreleri lenf nodu lenfositlerine benzerlik göstermektedir.

Bulgular transformasyon farklılaşma mekanizmaları göz önüne alınarak tartışılmıştır.

K A Y N A K L A R

1. Emin Kansu, Aslıhan Turhan: Lenfositler ve Immün Cevap.  
Kanser 9 (1-2): 94-104, 1979
2. Claire M. Payne, Lewis Glasser: Evaluation of Surface  
Markers on Normal Human Lymphocytes Containing Parallel  
Tubular Arrays: A Quantitative Ultrastructural Study.  
Blood 57 (3): 569-73, 1981
3. David T. Rowlands, Ronald P. Daniele: Surface Receptors  
in the Immune Response. N Engl J Med 293: 26-32, 1975
4. Martin C. Raff: T and B Lymphocytes and Immune Responses.  
Nature 243: 19-23, 1973
5. Jonathan W. Uhr.: The Membranes of Lymphocytes. Hospital  
Practise 113-119, 1975
6. Jean-Pierre Despont, Elisabeth Banderet, Carlos A. Abel:  
Effect of Lectins on the Interactions Between Human  
Peripheral Blood Lymphocytes and Monocytes. Cell Immunol  
57: 145-154, 1981
7. Nathan Sharon, Halina Lis: Lectins Cell-Agglutinating  
and Sugar-Specific Proteins. Science 177: 949-959, 1972

8. Halina Lis, Nathan Sharon: Plant Lectins. Ann Rev Biochem 42: 541-574, 1973
9. Carl Borrebaeck, Bo Mattiasson: Lectin Carbohydrate Interactions Studied by a Competitive Enzyme Inhibition Assay. Anal Biochem 107: 446-450, 1980
10. C.J. Louis, R.G. Wyllie. Fluorescein-Concanavalin A Conjugates Distinguish Between normal and Malignant Human Cells: A Preliminary Report. Experientia 37 (5): 508-9, 1981
11. Kenneth D. Noonan, Max M. Burger: The Relationship of Concanavalin A Binding to Lectin-Initiated Cell Agglutination. J Cell Biol 59: 134-142, 1973
12. P.G. Phillips, P. Furmanski, M. Lubin: Cell Surface Interactions with Concanavalin A. Exp Cell Res 86: 301-308, 1974
13. Maria Dani, Fabrizio Manca, Giovanni Rialdi: Calorimetric Study of Con A Binding to Saccharides. Biochim Biophys Acta 667: 108-117, 1981
14. Menahem Shoham, A. Joseph Kalb, Israel Pecht: Specificity of Metal Ion Interaction with Concanavalin A. Biochemistry 12: 1914-1917, 1973

15. Mark S.Bretscher: Membrane Structure: Some General Principles. *Science* 181, 622-629, 1973
16. Mark S. Bretscher, Martin C. Raff: Mammalian Plasma Membranes. *Nature* 258 (6): 43-49, 1975
17. Jos A.F. Op den Kamp: Lipid Asymmetry in Membranes. *Ann Rev Biochem* 48: 47-71, 1979
18. R.L. O'Brien, J.W. Parker, J.F.P. Dixon: Mechanisms of Lymphocyte Transformation. *Prog Mol Subcell Biol* 6: 201-270, 1978
19. Klaus Resch, Theodore Wood, Hinnak Northhoff, Herbert L. Cooper: Microtubules: Are They Involved in the Initiation of Lymphocyte Activation. *Eur J Biochem* 115: 659-664, 1981
20. T. Pozzan, A.N. Corps, T.R. Hesketh, J.C. Metcalfe: Mitogenic Stimulation and the Redistribution of Concanavalin A Receptors on Lymphocytes. *Exp Cell Res* 134: 399-408, 1981
21. Kurt H. Stenzel, Albert L. Rubin, Abraham Novogrodsky: Lymphocyte Commitment to DNA Replication Induced by Concanavalin A. *Exp Cell Res* 115: 285-291, 1978

22. Hinnak Northoff, Herbert Jungfer, Klaus Resch: The Effect of Anti-Con A on the Binding of Con A to Lymphocytes. *Exp Cell Res* 115: 151-158, 1978
23. Janet M. Oliver, Erwin W. Gelfand, Christine B. Pearson, Janet R. Pfeiffer, Hans-Michael Dosch: Microtubule Assembly and Concanavalin A Capping in Lymphocytes: Using Normal and Abnormal Human Peripheral Blood Cells. *Proc Natl Acad Sci USA* 77 (6): 3499-3503, 1980
24. Sarah Spiegel, Meir Wilchek: Membrane Sialoglycolipids Emerging as Possible Signal Transducers for Lymphocyte Stimulation. *J Immunol* 127 (2): 572-575, 1981
25. Ira Pastan: Cell Transformation. *Methods Enzymol* 58: 368-370, 1979
26. Gordon Parry, Susan P. Hawkes: Detection of an Early Surface Change During Oncogenic Transformation. *Proc Natl Acad Sci USA* 75 (8): 3703-3707, 1978
27. Adolfo Martinez-Palomo: The Nature of Neoplastic Cell Membranes. *Exp Mol Pathol* 31 (1): 219-225, 1979
28. K.G. Sundquist, P. Otteskog, L. Wanger, R.Thorstensson, G. Utter: Morphology and Microfilament Organization in Human Blood Lymphocytes. *Exp Cell Res* 130 (2): 327-337, 1980

29. Leonard Warren, Clayton A. Buck ,George P. Tuszynski:  
Glycopeptide Changes and Malignant Transformation:  
A Possible Role for Carbohydrate in Malignant Behavior.  
*Biochim Biophys Acta* 516 (1): 97-127, 1978
30. G.L. Nicolson: Trans-Membrane Control of the Receptors  
on Normal and Tumor Cells. *Biochim Biophys Acta* 458:  
1-71, 1976
31. S.J. Singer, Garth L. Nicolson: The Fluid Mosaic Model  
of the Stucture of Cell Membranes. *Science* 175:  
720-731, 1972
32. Antti Vaheri, Deane F. Mosher: High Molecular Weight  
Cell Surface Associated Glycoprotein (Fibronectin)  
Lost in Malignant Transformation. *Biochim Biophys Acta*  
516 (1): 1-25, 1978
33. Richard O. Hynes: Cell Surface Proteins and Malignant  
Transformation. *Biochim Biophys Acta* 458: 73-107, 1976
34. Tingchung Wang, John E. Foker, Alvin M. Malkinson:  
Protein Phosphorylation in Intact Lymphocytes Stimula-  
ted by Concanavalin A. *Exp Cell Res* 134: 409-415, 1981
35. M. Necati Küçüksu: Lenfoproliferatif Hastalıklar. Türk  
Kanser Araştırma ve Savaş Kurumu Yayınları 1982, s:193,  
205

36. Stephen F. Speckart, David H. Boldt, Richard P. MacDermott: Chronic Lymphatic Leukemia (CLL): Cell Surface Changes Detected by Lectin Binding and Their Relation to Altered Glycosyltransferase Activity. Blood 52 (4): 681-695, 1978
37. T.S. Zimmerman, H.A. Godwin, S. Perry: Studies of Leukocyte Kinetics in Chronic Lymphocytic Leukemia. Blood 31 (3): 277-291, 1968
38. S.M. Fu, R.S. Winchester, T. Feizi, P.D. Walzer, H.D. Kunkel: Idiotypic Specificity of Surface Immunoglobulin and the Maturation of Leukemic Bone Marrow Derived Lymphocytes. Proc. Natl Acad Sci 71 (11): 4487-4490, 1974
39. Hester P.M. Pratt, Andrew Saxon, Melissa L. Graham: Membrane Lipid Changes Associated With Malignant Transformation and Normal Maturation of Human Lymphocytes. Leuk Research 2 (1): 1-10, 1978
40. Hannah Ben-Bassat: Changes in the Surface Membrane of Lymphocytes From Patients With Chronic Lymphocytic Leukemia and Malignant Lymphomas. Israel j Med Sci 13 (8): 758-766, 1977

41. Uri Mintz, Leo Sachs: Changes in the Surface Membrane of Lymphocytes From Patients With Chronic Lymphocytic Leukemia and Hodgkin's Disease. *Int J Cancer* 15:253-259, 1975
42. M.S. Pollack, G.H. Slimp, J.E. Sokal: The Serological Detection of Leukemia Associated Antigens in Chronic Leukemia. *Am J Hematol* 3: 93-103, 1977
43. Robert W. Schroff, Kenneth A. Foon, Ronald J. Billing, John L. Fahey: Immunologic Classification of Lymphocytic Leukemias Based on Monoclonal Antibody-Defined Cell Surface Antigens. *Blood* 59 (2): 207-215, 1982
44. Faramarz Naeim: Cytoskeletal Control of Redistribution of Surface Membrane Receptors in Hairy Cell. *Am J Clin Pathol* 74: 660-663, 1980
45. A. Boyum: Isolation of Mononuclear Cells and and Granulocytes from Human Blood. *Scand J Clin Lab Invest* 21 (Suppl. 97): 77, 1968
46. Yavuz Taga, Kaya Emerk: Periferik İnsan Kanından T ve B Lenfositlerin ve Diğer Hücrelerin İzolasyonunda Yeni Uyarlamlar. *Biokimya Dergisi* 4: 11, 1980

47. F. Aiuti, J.C. Cerottini, R.A. Coombs, M. Cooper, H.B. Dickler: Identification, Enumeration and Isolation of B and T-Lymphocytes from Human Peripheral Blood. Scand J Immunol 3: 521-532, 1974
48. C. Bianco, R. Patrick, V. Nussenzweig: A Population of Lymphocytes Bearing a Membrane Receptor for Antigen-Antibody-Complement Complexes. J Exp Med 132: 702-720, 1970
49. M.F. Greaves, G. Brown: Purification of Human T and B-Lymphocytes. J Immunol 112: 420-423, 1974
50. B.B.L. Agrawal, I.J. Goldstein: Physical and Chemical Characterization of Concanavalin A, the Hemagglutinin from Jack bean (*Canavalia ensiformis*) Biochem Biophys Acta 133: 376-379, 1967
51. "Chemical Notes" Packard Instrument, Co., Inc 1970.
52. G.A. Bray: A Simple Efficient Liquid Scintillator for Counting Aqueous Solutions in a Liquid Scintillation Counter. Anal Biochem 1; 279-285, 1960
53. Garth L. Nicolson, Monique Locorbiero, Walter Eckhart: Qualitative and Quantitative Interactions of Lectins With Untreated and Neuraminidase-Treated Normal, Wild-Type, and Temperature-Sensitive Polyoma-Transformed Fibroblasts. Biochemistry 14: 172-179, 1975

54. H.P. Schneblii, T. Bachi: Reaction of Lectins With Human Erythrocytes. *Exp Cell Res* 91: 175-183, 1975
55. George Scatchard: The Attractions of Proteins for Small Molecules and Ions. *Ann N Y Acad Sci* 51: 660-672, 1949
56. Angelo Azzi: The Use of Fluorescent Probes for the Study of Membranes. *Methods in Enzymology*, S.P. Colowick, N.O. Kaplan (derleyenler) Acad Press: New York and London C XXXII s:234, 1974
57. Kaya Emerk, Faruk Sinangil :  $^3\text{H}$ -Con A ve Ferritin Con A Türevlerinin Hazırlanmasında Kullanılan Yüksek Verimli İki Yöntem. *Biokimya Dergisi*: 4: 181, 1979
58. Kenneth D. Noonan, Max M. Burger: Binding of  $^3\text{H}$ -Concanavalin A to Normal and Viral Transformed Cells. *J Biol Chem* 12: 4286-4292, 1973
59. Barbara Pearse: Coated Vesicles. *TIBS* 5 (5): 131-134, 1980
60. J.L. Robbins, G.L. Nicolson: Surfaces of normal and Transformed Cells. *Cancer* (Becker F.F., Ed) c 4; s:1 Plenum Press
61. Sheena M. Johnson, Mary Kramers: Membrane Microviscosity Differences in Normal and Leukaemic Human Lymphocytes. *Biochem Biophys Res Commun*:80 (2):451-457, 1978

62. M. Inbar, M. Shinitzky: Cholesterol As a Bioregulator in the Development and Inhibition of Leukemia. Proc Natl Acad Sci USA 71 (10): 4229-4231, 1974
63. F. Salsona, A. Afeltra, L. Annino, S. Pisarri-Salsano: The Peculiar Redistribution of Surface-Membrane Immunoglobulins (Sm-Ig) as a Diagnostic Marker of Hairy-Cell Leukemia (HCL). 5<sup>th</sup> Europ Imm. Meeting Abs. Book p 242: 22/16, 1982
64. Yavuz Taga: Normal Periferik İnsan B ve T Lenfositleri ile, K-562 Hücrelerinin Bazı Yüzey Özelliklerinin İncelenmesi. Hacettepe Üniversitesi Biokimya Programı Doktora Tezi. Ankara-1981 s: 71

## K I S A L T M A L A R

ANS: 1-Anilino-8-naphthalene sulfonat

Con A: Concanavalin A.

E<sup>+</sup>rozet: Koyun eritrositi ile kendiliğinden rozet oluşumu.

EAC<sup>+</sup>rozet: Eritrosit-antikor-kompleman aracılığı ile rozet oluşumu.

EDTA: Etilen diamin tetra asetik asit.

FCS: Fetal Calf Serum.

FITC-a-human Ig: Fluorescaine isothiocyanate ile işaretli anti insan immunoglobulini.

GVB<sup>++</sup>: Gelatin Veronal Tampon.

HCL: Hairy Cell Lösemi.

KLL: Kronik Lenfositik Lösemi.

$\alpha$ -MM:  $\alpha$ -Metilmannopironozid.

PBS: Fosfat Tamponlu Serum Fizyolojik

PHA: Phytohemaglutinin.

POPOP: p-bis-[2-(5-phenyloxazoly)] benzene .

PPO: (2,5-Diphenyloxazole)

SIg: Yüzey immünoglobulin.

